

ACÉLSZERKEZETEK TERVEZÉSE AZ EUROCODE SZERINT

Dr. Iványi Miklós¹

Előszó

Acélszerkezetek tervezési stratégiájában az elmúlt években jelentős átrendeződés következett be:

- Megjelentek illetve megjelennek az Eurocode szabványrendszer egyes részei, és ezzel új, alternatív tervezési módszerek alkalmazására kerül sor.
- A modern acélszerkezetek területén a félkész-termékek, így a melegen hengerelt és hidegen hajlított szelvények választékának kibővülése hozott jelentős tervezésméleti, módszertani és minőségügyi változást.
- A számítástudomány eredményeinek alkalmazásával a tervezési módszertan kiterjedt átalakuláson megy keresztül.

Az Eurocode szerinti tervezési stratégia megismeréséhez számos „forrást” biztosít az Európai Unió, melyek modernizálni kívánják az egyetemi oktatást, a szabványok megismerését, alkalmazását mind tartalmi, mind módszertani szempontból, harmonizálni akarják a tananyagokat, figyelembe véve az ipari, a mérnöki élet követelményeit.

Az elmúlt évtizedekben több európai projektben vettünk részt, melyek segítségével jelentős változás következett be ezen a területen:

Leonardo da Vinci Program: SSEDTA-1 (1997-1999)

SSEDTA-2 (1999-2001)

„Structural Steelwork Eurocodes – Development of a Trans-National Approach”

A programok eredményeit könyvben foglaltuk össze. [Iványi 2001]

Jelen összeállítás természetesen az adott keretek között a legfontosabbnak ítélt részek vázlatos ismertetését fogalmazva meg feladatként. Az összeállítás 1-7 fejezetével követjük az EN 1993-1-1 szabvány megfelelő fejezeteit, ezzel is segítve az eligazodást. A 8. fejezet a EN 1993-1-8 Kapcsolatok tervezése kiegészítő szabvány ismertetésével foglalkozik, mivel acélszerkezetek területén ez a fejezet nagyon fontos, a további részek vonatkozásában a szakirodalom a teljes szabványcsaládra hivatkozik. [Iványi 2002]

¹ műszaki tudomány doktora, egyetemi tanár

Általános bevezető

Az Eurocode 3 szabvány-család az előkészítő, véglegesítési folyamat során számos „átrendezésen” ment keresztül, végül is a következő rendszer alakult ki:

EN 1993-1 Általános és az épületekre vonatkozó szabályok

EN 1993-2 Acélhidak

EN1993-3 Torn्यों, antennatornyok, kémények

EN 1993-4 Silók, tartályok, csővezetékek

EN 1993-5 Acélcölöpök

EN1993-6 Daru megtámasztó szerkezetek

Az EN 1993-1 általános szabályok kiegészítésére további részeket csatoltak:

EN 1993- 1-1 Acélszerkezetek tervezése: Általános és épületekre vonatkozó szabályok

1-2 Acélszerkezetek tervezése tűzterherre

1-3 Hidegen alakított elemek és burkolatok

1-4 Rozsdamentes acélok

1-5 Lemezszerkezetű elemek

1-6 Héjszerkezetek szilárdsága és stabilitása

1-7 Keresztirányban terhelt lemezszerkezetek szilárdsága és stabilitása

1-8 Kapcsolatok méretezése

1-9 Acélszerkezetek fáradási szilárdsága

1-10 Acélanyag kiválasztása a törési szívósság és a vastagság jellemzők figyelembevételével

1-11 Húzott acélszerkezetek méretezése

1-12 Kiegészítő szabályok nagy szilárdságú acélokra

1.1. Az EN 1993-1 tárgya

Az EC-3/1 acél épületek és szerkezetek tervezésénél alkalmazható. Jelen összeállítás nem terjed ki fáradásnak, alacsony hőmérsékletnek, tűznek kitett szerkezetekre, ilyen jellegű vizsgálatokkal kapcsolatos előírások az EC-3-ban találhatók.

1.2. Feltételezések

A következő alapfeltevések érvényesek az EN 1990 alapján:

- A szerkezetet megfelelően képzett és tapasztalt személyek tervezik.
- Megfelelő minőség-ellenőrzés van a gyárban, az építési helyszínen.
- Az építést megfelelő szaktudással, tapasztalattal rendelkező személyek végzik.
- Az építőanyagok és termékek megfelelnek az Eurocode-nak, vagy a vonatkozó anyag-, ill. termékspecifikációnak.
- A szerkezetet megfelelő módon fenntartják.
- A szerkezetet rendeltetésszerűen használják.

1.3. Fogalom meghatározások

Az ISO 8930 Nemzetközi Szabványban és az EN 1993-1 szabványban használt terminológiát használjuk.

1.4. Jelölések és rúdtengelyre vonatkozó szabályok

(1) Ahol többszörös indexekkel ellátott betűjelekre van szükség, az indexek a következő sorrendben használhatók:

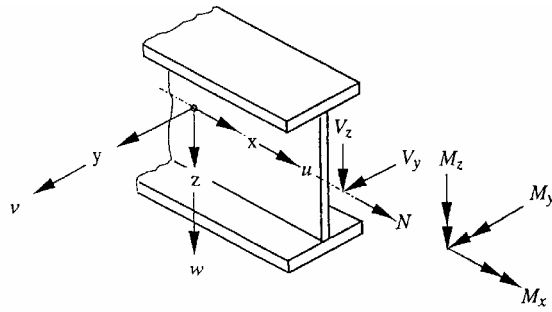
- fő paraméter: (M, N, β)
- változat típusa (l, eff, b)
- értelem (irány, előjel): (t, v)
- tengely: (y, z)
- helyzet: (1, 2, 3)
- fajta, osztály: (R, S)
- szint: (d, k)
- index: (1, 2, 3)

Például: $M_{pl,y,Rd}$ (a teljes keresztmetszet képlékeny nyomatóéki tervezési ellenállása az y tengelyre)

(2) Vesszőt használunk az index betűpárok elválasztására, kivéve a következő helyeket:

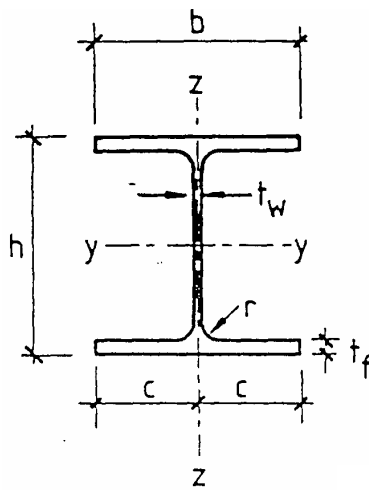
- az egy karakternél többet tartalmazó indexek nincsenek tovább elválasztva;
- az Rd, Sd stb. kombinációk nincsenek tovább felosztva.

(3) A rúdtengelyekre vonatkozó szabályok (1.1 ábra)



1.1 ábra A rúdtengelyekre vonatkozó szabályok

- (4) A hengereltacél I szelvény keresztmetszeti méreteire és tengelyeire használt jelölések (1.2 ábra).



1.2 ábra: A keresztmetszet méretei és tengelyei

2. A tervezés alapelvei

2.1. Alapkövetelmények

- (1) A szerkezetet úgy kell megtervezni és megépíteni, hogy

- elfogadható valószínűséggel megtartsa a megkívánt használati állapotát, figyelembe véve tervezett élettartamát és költségét;
- megfelelő megbízhatósággal ellenálljon minden erőnek és hatásnak, ami építése, használata során érheti, és a fenntartási költségekhez viszonyítva megfelelően tartós legyen.

- (2) A szerkezetet úgy kell megtervezni, hogy olyan események miatt, mint robbanás, ütközés vagy emberi mulasztás, a kiváltó okhoz képest aránytalan módon ne rongálódjon meg.

- (3) Az előző követelmények kielégíthetők megfelelő anyag kiválasztással, tervezéssel, részletkialakításokkal, a gyártás, építés és használat ellenőrzésének a létesítmény sajátosságait figyelembe vevő előírásrendszerével.

2.2. Meghatározások és osztályozások

2.2.1. Határállapotok

(1) A határállapotok azok az állapotok, amelyekben túl a szerkezet már nem elégíti ki az előírt tervezési követelményeket.

A határállapotok csoportjai:

- teherbírési határállapotok,
- használhatósági határállapotok.

(2) A teherbírési határállapotok azok a határállapotok, amelyek a szerkezet összeomlásához vagy más olyan tönkremeneteli formájához kapcsolódnak, amelyek az emberek biztonságát veszélyeztethetik.

(3) A használhatósági határállapotok azok a határállapotok, amelyekben túl a meghatározott használati feltételek már nem teljesülnek.

(4) A tervezési állapotok csoportjai:

- tartós állapotok, amelyek a szerkezet rendeltetésszerű használati feltételeinek felelnek meg;
- ideiglenes állapotok, például építés vagy javítás közben;
- rendkívüli állapotok.

2.2.2. Hatások

2.2.2.1. Meghatározások és elvi csoportosítás

Az (F) hatás lehet:

- a szerkezetre ható erő (közvetlen hatás), vagy
- terhelő alakváltozás (közvetett hatás), pl. hőmérsékleti hatás vagy támaszsüllyedés.

A hatások csoportjai:

(i) időbeni változások szerint:

- állandó hatások (G), pl. a szerkezetek, a szerelvények, az ideiglenes és rögzített berendezések önsúlya;
- változó hatások (Q), pl. esetleges terhek, szél- vagy hóterhek;
- rendkívüli terhek (A), pl. robbanás vagy járművek ütközése;

(ii) térbeni változások szerint:

- állandó hatások, pl. az önsúly;
- változó hatások, amelyek különböző elrendezésben jelentkeznek, pl. mozgó esetleges terhek, a szélteher vagy a hóteher.

2.2.2.2. A hatások karakterisztikus értékei

(1) Az F_k karakterisztikus értékeket

- az EN 1991 Eurocode 1 vagy más teherszabvány írja elő, vagy
- a megrendelő, esetleg a tervező a megrendelővel való egyeztetés alapján határozza meg, összhangban a vonatkozó teherszabványban található, vagy az illetékes hatóság által meghatározott minimális értékekkel.

(2) A hatások tervezési értékei:

$$F_d = \gamma_F F_k,$$

ahol γ_F a hatás parciális biztonsági tényezője.

(3) A γ_F használatának speciális esetei:

$$G_d = \gamma_G G_k$$

$$Q_d = \gamma_Q Q_k \text{ vagy } \gamma_Q \psi_i Q$$

$$A_d = \gamma_A A_k \text{ (ha } A_d \text{ közvetlenül nincs előírva)}$$

ahol ψ kombinációs együttható.

2.3. Tervezési követelmények

2.3.1. Általános előírások

- (1) Igazolni kell, hogy egyetlen vonatkozó határállapot sincs túllépve.
- (2) Minden vonatkozó terhelési állapotot és teherkombinációt figyelembe kell venni.
- (3) A hatások feltételezett irányának vagy helyzetének lehetséges eltérését figyelembe kell venni.
- (4) A számításokat az összes mértékadó paraméter figyelembe vételével megfelelő tervezési modellekkel (ha szükséges, akkor kísérletekkel kiegészítve) kell elvégezni. A tervezési modell elég pontos legyen ahhoz, hogy a szerkezet viselkedését megfelelően írja le, feleljen meg a gyártás valószínűsíthető színvonalának és a tervezés alapjául szolgáló információk megbízhatóságának.

2.3.2. Teherbírási határállapotok

2.3.2.1. Ellenőrzési feltételek

- (1) A szerkezet statikai egyensúlyi, teljes elmozdulási vagy alakváltozási határállapotának vizsgálata esetén igazolni kell, hogy

$$E_{d,dst} \leq E_{d,stb},$$

ahol $E_{d,dst}$ a destabilizáló hatások tervezési értékét,
 $E_{d,stb}$ a stabilizáló hatások tervezési értékét jelenti.

- (2) Törési vagy alakváltozási határállapot esetén egy keresztmetszetet, szerkezeti elemet vagy egy kapcsolatot (fáradást kivéve) ellenőrizni kell:

$$S_d \leq R_d,$$

ahol S_d a belső erő vagy nyomaték tervezési értéke,
 R_d a megfelelő tervezési ellenállás.

2.3.2.2. Hatások kombinációi

- (1) Minden teherkombinációnál a hatáskövetkezmény E_d tervezési értékeit a hatások tervezési értékeiből a kombinációs szabályok szerint kell meghatározni az EN 1990 és EN 1991 szabványok alapján

2.3.3. Használhatósági határállapotok

- (1) Minden teherkombinációnál a hatáskövetkezmény tervezési értékeit a hatások tervezési értékeiből a kombinációs szabályok szerint kell meghatározni.

3. Anyagok

3.1. Általános elvek

- (1) A táblázatban szereplő anyagi jellemzők névleges értékek, melyek tervezéskor karakterisztikus értéként használandók.

3.2. Szerkezeti acél

- (2) Melegen hengerelt acélok anyagjellemzői

3.1 táblázat: Az EN 10025 szerinti szerkezeti acélok f_y folyáshatárának és f_u szakítószilárdságának névleges értékei				
	Vastagság t [mm]			
	t ≤ 40 mm		40 mm < t ≤ 80 mm	
	f_y [N/mm ²]	f_u [N/mm ²]	f_y [N/mm ²]	f_u [N/mm ²]
EN 10025				
S235	235	360	215	340
S275	275	430	255	410
S355	355	510	335	490
S450	440	550	410	550

- (3) Duktilitási követelmények

A szerkezet vagy a szerkezet elemeinek globális analízise során az acélszerkezet duktilitási követelményei a következők:

- az előírt minimális f_u szakítószilárdság és f_y folyáshatár arányára igaz, hogy $f_u / f_y \geq 1.1$
- az $5.65 \sqrt{A_0}$ (ahol A_0 az eredeti keresztmetszet területe) bázishosszon mért szakadó nyúlás nem kisebb, mint 15%.
- a feszültség-nyúlás diagram alapján az f_u szakítószilárdsághoz tartozó ϵ_u szakadó nyúlás legalább 15-szor nagyobb az f_y folyáshatárhoz tartozó ϵ_y folyási nyúlásnál ($\epsilon_u \geq 15\epsilon_y$).

- (4) Anyagi együtthatók tervezési értéke

Az acélok anyagi együtthatóit a számítások során a következő értékekkel kell figyelembe venni:

- rugalmassági modulus: $E = 210000 \text{ N/mm}^2$
- nyírási modulus: $G = E/2(1+\nu) \sim 81000 \text{ N/mm}^2$
- Poisson-tényező: $\nu = 0.3$
- lineáris hőtágulási együttható: $\alpha = 12 \times 10^{-6} \text{ 1/K}$ ($T \leq 100^\circ\text{C}$ esetén)
- sűrűség: $\rho = 7850 \text{ kg/m}^3$

4. Tartósság

(1) Acélszerkezeti elem tervezett használatának és élettartamának megfelelő tartósság biztosításához a tervezési szakaszban a következő, egymással összefüggő tényezőket kell figyelembe venni:

- a szerkezet tervezett használata,
- a megkívánt gyártási kritériumok,
- az elvárt környezeti feltételek,
- az anyagok összetétele, tulajdonsága és gyártása,
- a különböző anyagok egymáshoz kapcsolásának hatása,
- az elemek alakja és szerkezeti részletek,
- a kivitelezés minősége és az ellenőrzés szintje,
- a különleges védőeszközök,
- a megfelelő fenntartás a tervezett élettartam folyamán.

(2) A külső és belső környezeti feltételeket fel lehet becsülni a tervezési szakaszban abból a célból, hogy megállapítsuk a jelentőségüket a tartóssághoz viszonyítva, biztosítva a megfelelő tartalékokat az anyagok védelméhez.

(3) Különös figyelem szükséges azokban az esetekben, amikor a különböző anyagoktól várjuk el az együttműködést, mert ezekben az esetekben az anyagokban elektrokémiai jelenségek léphetnek fel, megfelelő feltételeket biztosítva a korrózió kialakulásához.

(4) A környezeti feltételeket, melyeket a gyártási idő, beleértve a szállítást és a helyszíni tárolást jelentősen befolyásol, figyelembe kell venni.

(5) A megfelelő acélanyag kiválasztása mellett az acélszerkezetek tartósságát a szerkezeti részletek megfelelő megtervezése is jelentősen befolyásolja.

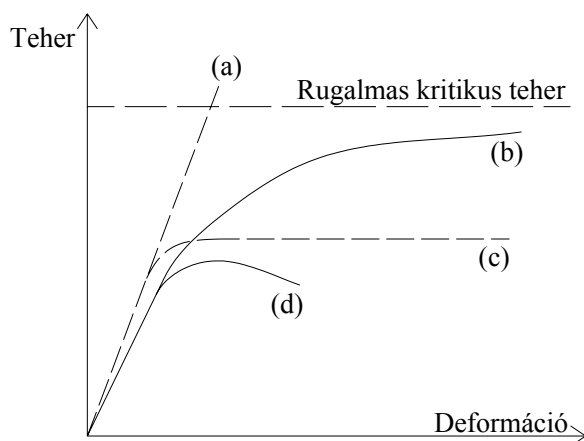
5. Szerkezeti analízis

5.1. Szerkezeti modellek

(1) A keresztmetszetek szilárdságának és a szerkezeti rudak stabilitásának meghatározása előtt áttekintjük a globális analízist, amely erők, nyomatékok megállapítására szolgál:

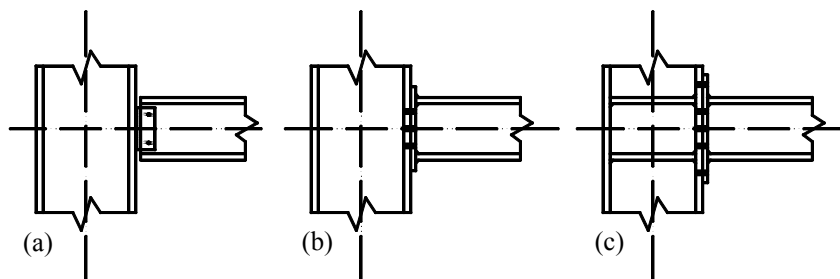
(5.1 ábra)

- (a) elsőrendű rugalmas – kezdeti geometriai alak és lineáris anyag viselkedés,
- (b) másodrendű rugalmas – deformált geometriai alak és lineáris anyag viselkedés,
- (c) elsőrendű képlékeny – kezdeti geometriai alak és nem-lineáris anyag viselkedés,
- (d) másodrendű képlékeny – deformált geometriai alak és nem-lineáris anyag viselkedés feltételezésével.



5.1 ábra Teher-deformáció görbék

- (2) A szerkezeti kapcsolatok tipikus kialakításait oszlop-gerenda kapcsolatok eseteire az 5.2 ábra mutatja.



5.2 ábra Tipikus oszlop-gerenda kapcsolatok

- (a) Egyszerű csomópont; (b) Fél-folytonos csomópont; (c) Merev csomópont

5.2. Globális vizsgálat

5.2.1. Szerkezet deformált alakjának hatása

- (1) A belső erők, igénybevételek meghatározhatók
 - első-rendű vizsgálattal, a szerkezet kezdeti geometriájának felhasználásával
 - másod-rendű vizsgálattal, a szerkezet deformációinak figyelembevételével.

Első-rendű vizsgálat alkalmazható, ha

$$\alpha_{cr} = \frac{F_{crit}}{F_{Ed}} \geq 10$$

ahol: α_{cr} az a tényező, amellyel a tervezési terhet megnövelve adódik a rugalmas elmozduláshoz tartozó instabilitási teher

F_{Ed} a szerkezet tervezési terhe

F_{crit} a rugalmas kritikus teher globális instabilitás esetén

Imperfekciók: (a) globális imperfekciók keretekre és megtámasztó szerkezetekre
 (b) lokális imperfekciók a szerkezeti rudakra

- (2) Gerenda-oszlop típusú síkbeli keretek esetében az elsőrendű vizsgálat követelménye egyszerűsítve vizsgálható (5.3 ábra)

$$\alpha_{cr} = \frac{H_{Ed}}{V_{Ed}} \frac{h}{\delta_{H,Ed}}$$

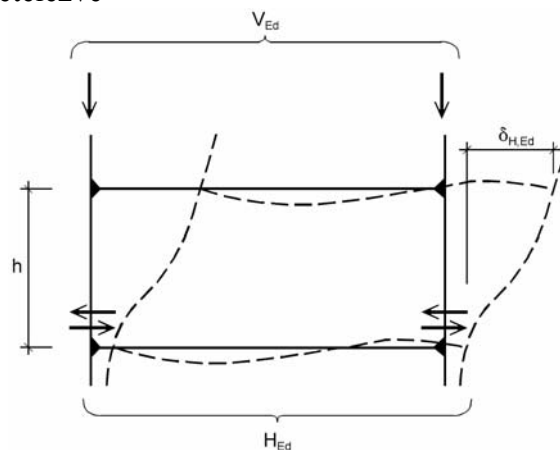
ahol: H_{Ed} a szint alján ható vízszintes valódi és fiktív erők vízszintes reakcióereje
 V_{Ed} a szerkezet teljes függőleges terhe a szint tetején
 $\delta_{H,Ed}$ a szint felső szélének eltolódása az alsó élhez viszonyítva a valódi (pl. szélteher) és a fiktív vízszintes erők hatására
 h a szint magassága

Alkalmazható viszonylag kis hajlású (26°) gerenda esetén:

A gerenda nyomási igénybevételeinek ismerete hiányában feltételezhető:

$$\bar{\lambda} \geq 0.3 \sqrt{\frac{Af_y}{N_{Ed}}}$$

$\bar{\lambda}$ dimenzió nélküli síkbeli karcsúság, a gerendára csuklós megtámasztást feltételezve



5.3 ábra Keretek jelölése

Egyszintes keretek esetében a másod-rendű hatás számítható a H_{Ed} vízszintes teher (pl. szélteher) és egy az imperfekciókból származó ekvivalens teher figyelembevételével:

$$H = H_0 \frac{1}{1 - \frac{1}{\alpha_{cr}}} ; \quad \alpha_{cr} = \frac{H_0}{V_{Ed}} \frac{h}{\delta_{H,Ed}} \geq 3.0 \quad ; \quad H_0 = H_{Ed} + V_{Ed} \phi$$

Többszintes keretek esetében a másod-rendű hatás számítható az előbb megadott módszerrel, ha minden egyes szintnél azonos a

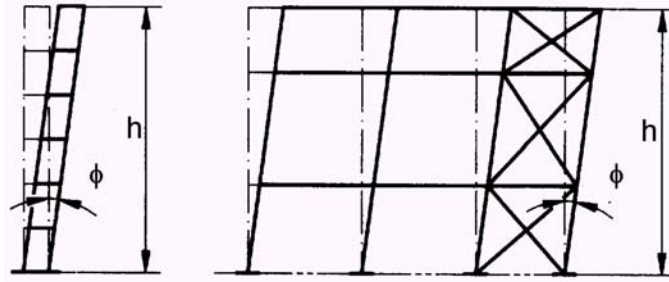
- a függőleges szinterők megoszlása,
- a vízszintes szinterők megoszlása,
- és a keretmerevségek megoszlása szintenként a vízszintes erők hatására.

5.3. Globális vizsgálatok szerkezeti imperfekciókkal

5.3.1. Imperfekciók keretek globális analizéséhez (5.4 ábra)

Síkbeli kihajlás esetén:

(a) globális ferdeség ϕ



5.4 ábra Ekvivalens eltolódási imperfekciók

- $\phi = \phi_0 \cdot \alpha_h \cdot \alpha_m$
- ahol: $\phi_0 = 1/200$ kezdeti érték
- α_h a h magasságú oszlopokhoz alkalmazható csökkentő tényező:
- $$\alpha_h = \frac{2}{\sqrt{h}}, \text{ de } \frac{2}{3} \leq \alpha_h \leq 1,0$$
- h a szerkezet magassága méterben
- α_m az egy sorban lévő oszlopok számához tartozó csökkentő tényező:
- $$\alpha_m = \sqrt{0,5 \left(1 + \frac{1}{m} \right)}$$
- m egy sorban lévő azon oszlopok száma, melyeket az adott függőleges síkban számított átlagos N_{Ed} függőleges teher legalább 50 %-a terhel.
- (b) lokális görbeség e_0 (5.1 táblázat)

kihajlási görbe jele	rugalmas analízis	képlékeny analízis
	e_0 / L	e_0 / L
a ₀	1/350	1/300
a	1/300	1/250
b	1/250	1/200
c	1/200	1/150
d	1/150	1/100

5.1 táblázat Kezdeti lokális görbeség

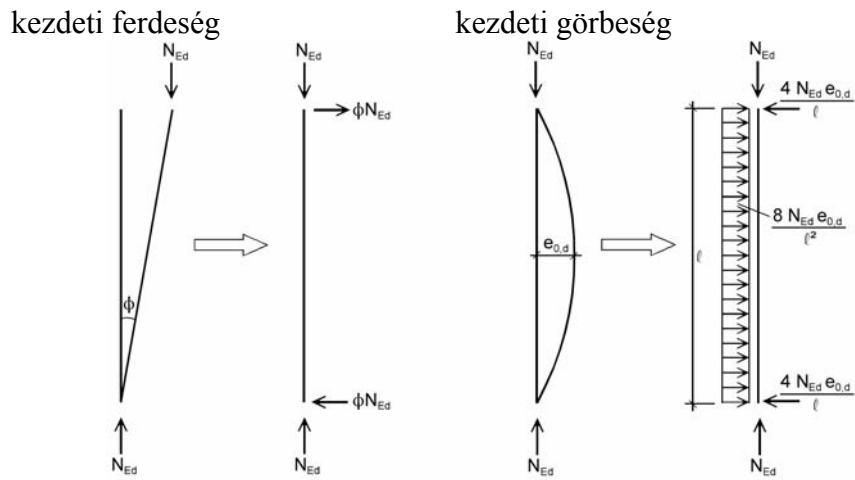
L az elem hossza

Az elemek lokális görbesége elhanyagolható és csak a globális ferdeséget kell figyelembe venni a végerők és nyomatékok meghatározásához, ha minden nyomott oszlopra teljesül a következő kritérium:

$$\bar{\lambda} \leq 0,5 \sqrt{\frac{A \cdot f_y}{N_{Ed}}}$$

- ahol N_{Ed} a nyomóerő tervezési értéke
- $\bar{\lambda}$ a csuklósnak feltételezett oszlop síkbeli redukált karcsúsága

(c) A kezdeti ferdeség és kezdeti görbeség helyettesíthető az oszlopokat terhelő vízszintes erőkkel: (5.5 ábra)



5.5 ábra Imperfekciók helyettesítése ekvivalens vízszintes terhekkel

(d) A szerkezet lehetséges elfordulási hatása is figyelembe vehető megfelelő eltolódások alkalmazásával:

e) A globális és lokális imperfekciók figyelembevételének alternatív módjaként a szerkezet rugalmas kritikus kihajlási alakjához tartozó η_{crit} is felhasználható, mint egységes globális és lokális imperfekció. Az imperfekció alakja ekkor így írható fel:

$$\eta_{init} = e_{0,d} \frac{M_{Rk}}{EI \eta_{crit,max}} \eta_{crit}$$

ahol: $\bar{\lambda} > 0,2$ esetén

$$e_{0,d} = \frac{\alpha (\bar{\lambda} - 0,2)}{\bar{\lambda}^2} \frac{1 - \chi \bar{\lambda}^{-2}}{1 - \chi \bar{\lambda}^{-2}}$$

$$\bar{\lambda} = \sqrt{\frac{\alpha_{ult}}{\alpha_{crit}}} \quad \text{a szerkezet relatív karcsúsága}$$

- α a megfelelő kihajlási görbéhez tartozó imperfekciós tényező
- χ kihajlási csökkentő tényező
- α_{ult} az N_{Ed} erőrendszer $N_{ult,k}$ karakterisztikus ellenállás eléréséhez tartozó legkisebb erőszorzója a kihajlás figyelembevétele nélkül
- α_{crit} az N_{Ed} erőrendszer legkisebb erőszorzója a kihajlás figyelembevételével
- M_{Rk} a kritikus keresztmetszet nyomatéki ellenállásának karakterisztikus értéke, pl. $M_{el,Rk}$ vagy $M_{pl,Rk}$
- $EI \eta_{crit}$ a mértékadó keresztmetszetben η_{crit} hatására ébredő hajlító nyomaték

5.3.2. Imperfekciók megtámasztó rendszerek globális analiziséhez

(a) Megtámasztó szerkezetek imperfekciója kezdeti görbeséggel adható meg: (5.6 ábra)

$$e_0 = \alpha_m L / 500$$

ahol: L a megtámasztó rendszer támaszköze

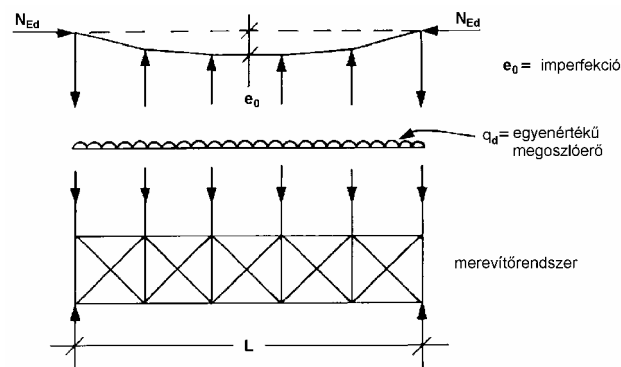
$$\alpha_m = \sqrt{0,5 \left(1 + \frac{1}{m} \right)}$$

m a megtámasztott elemek száma

(b) A megtámasztó szerkezetek imperfekciós hatása helyettesíthető egyenértékű stabilizáló erővel:

$$q = \sum N_{Ed} 8 \frac{e_0 + \delta_q}{L^2}$$

a megtámasztó rendszer síkbeli lehajlása q teher és bármely, elsőrendű ahol: δ_q analízisből számított külső teher együttes hatására. Másodrendű elmélet esetén $\delta_q = 0$ alkalmazható.



Az N_{Ed} erő az L támaszközön egyenletesen oszlik meg.
5.6 ábra Ekvivalens stabilizáló erő

(c) Ha a megtámasztott gerenda vagy nyomott elem illesztett, a megtámasztó rendszert az illesztés keresztmetszetében ható $\alpha_m N_{Ed} / 100$ nagyságú koncentrált erőre is ellenőrizni kell.

5.4. Nem-lineáris anyag számításba vétele a globális analízisnél

Statikailag határozatlan szerkezetek belső erői és nyomatékai

- rugalmas globális analízissel vagy
- képlékeny globális analízissel határozhatók meg.

Rugalmas globális analízis mindig használható.

Képlékeny globális analízis csak akkor használható, ha az EN 1993-1-1 szabvány szerint a rúdelemek keresztmetszetei teljesítik az 5.5 szakasz feltételeit az acélanyag pedig a duktilitási követelményeket.

Az 5.7 ábra néhány példa segítségével bemutatja a különböző gerenda szerkezetek többletteherbírását.

Képlékeny többletteherbírás $r = \frac{P_{pl}}{P_{el}}$.

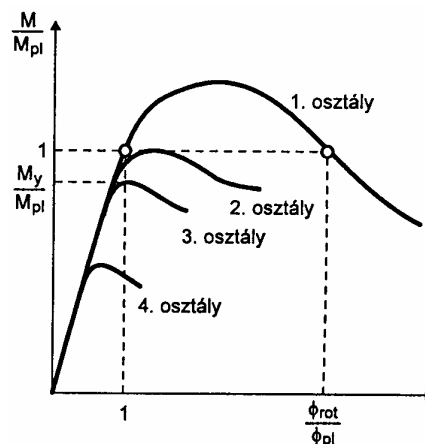
GERENDA	RUGALMAS NYOMATÉKI ÁBRA	$\frac{P_{el} L}{M_{pl}}$	FOLYÁSI MECHANIZMUS	$\frac{P_{pl} L}{M_{pl}}$	r
		8,00		11,656	1,46
		10,45		11,656	1,12
		9,33		11,656	1,25
		8,55		11,656	1,36

5.7 ábra Rugalmas és képlékeny teherbírás

5.5. Keresztmetszetek osztályozása

Négy keresztmetszeti osztály definiálható: (5.8 ábra)

1. keresztmetszeti osztályba azok a keresztmetszetek tartoznak, amelyekben a képlékeny vizsgálat által megkívánt elfordulási képességgel rendelkező képlékeny csuklók alakulhatnak ki.
2. keresztmetszeti osztályba azok a keresztmetszetek tartoznak, amelyekben a képlékeny nyomatéki ellenállás kialakulhat, de elfordulási képességük korlátozott.
3. keresztmetszeti osztályba azok a keresztmetszetek tartoznak, amelyekben a számított nyomott szélsősízal feszültség elérheti a folyáshatárt, de a helyi horpadás (lemezhorpadás) megakadályozza a képlékeny nyomatéki ellenállás kifejlődését.
4. keresztmetszeti osztályba azok a keresztmetszetek tartoznak, amelyekben a nyomatéki, illetve nyomási ellenállás meghatározása során a helyi horpadás hatására kifejezetten tekintettel kell lenni.



5.8 ábra Nyomaték-elfordulási görbék [Halász, Iványi, 2001]

5.6. Keresztmetszet követelményei a képlékeny és rugalmas globális analízis esetén

5.6.1. Méretaránykorlátok

Az 5.2 táblázat összefoglalja a különböző keresztmetszeti alakok lemezelemeinek szélesség/vastagság követelményeit. [Iványi 1998]

ELEMÉK		KÉPLÉKENY ELLENÁLLÁS				RUGALMAS ELLENÁLLÁS			
		Feszültségeloszlás		1. osztály	2. osztály	Feszültségeloszlás		3. osztály	
Gerinclemezek		arány: d/t_w		$\alpha = 1$	33ε	38ε	$\psi = 1$	42ε	
		$d = h - 3t$		$\alpha > 0,5$	$\frac{396\varepsilon}{13\alpha - 1}$	$\frac{456\varepsilon}{13\alpha - 1}$	$\psi > -1$	$\frac{42\varepsilon}{0,67 + 0,33\psi}$	
				$\alpha = 0,5$	72ε	83ε	$\psi = -1$	124ε	
				$\alpha < 0,5$	$\frac{36\varepsilon}{\alpha}$	$\frac{41,5\varepsilon}{\alpha}$	$\psi < -1$	$62\varepsilon(1-\psi)\sqrt{-\psi}$	
Belső övlemezek		arány: b/t_r		C	33ε+3	38ε+3	C	42ε+3	
				B	33ε	38ε	B	42ε	
				C	42ε+3	42ε+3	C	42ε+3	
				B	42ε	42ε	B	42ε	
Szabadperemű övlemezek		arány: c/t_r		A	10ε	11ε	A	15ε	
				B	9ε	10ε	B	14ε	
				A	$\frac{10\varepsilon}{\alpha}$	$\frac{11\varepsilon}{\alpha}$	A	$23\varepsilon\sqrt{k_G}$	
				B	$\frac{9\varepsilon}{\alpha}$	$\frac{10\varepsilon}{\alpha}$	B	$21\varepsilon\sqrt{k_G}$	
$\varepsilon = \sqrt{\frac{235}{f_y}}$		f_y (MPa)	235	275	355	Az a szelvény, amely a 3. osztály feltételeit nem elégíti ki, a 4. osztályba tartozik. A: hengerelt szelvény B: hegesztett szelvény C: hengerelt zárt szelvény			
ε	1	0,92	0,81						

5.2 táblázat Hosszú lemezcsíkok méretaránykorlátai az egyes keresztmetszeti osztályokhoz

Keresztmetszet osztályozása hajlítás és nyomóerő esetén:

Az összetett igénybevétel esetén a feszültségállapot eloszlása alapján határozható meg a keresztmetszeti osztály. Az 1. és a 2. keresztmetszeti osztály esetén α , a 3. osztály esetén a ψ meghatározható az 5.2 táblázat alapján. I vagy H keresztmetszetek esetén az 1. és 2. osztály

$$\alpha = \frac{1}{d} \left[\frac{h}{2} + \frac{1}{2} \frac{N_{Ed}}{t_w f_y} - (t_f + r) \right] \leq 1$$

a 3. osztály ψ értéke a rugalmas analízisből számítható.

5.6.2. 4. osztályú keresztmetszetek hatékony (effektív) keresztmetszeti jellemzői [EN 1993-1-5]

A lemezhorpadás hatására hatékony keresztmetszetek alakulnak ki, melyeket a lemez megtámasztásának a feszültség eloszlásának és a lemez szélesség-vastagság arányában határoznak meg.

A hatékony keresztmetszet a ρ tényezőtől függ:

A ρ csökkentő tényező a következő lehet: (5.3 táblázat)

– belső nyomott lemezelemekre:

$$\rho = \frac{\bar{\lambda}_p - 0,055(3 + \psi)}{\bar{\lambda}_p^2} \leq 1,0$$

– szabad peremű lemezelemekre: (5.4 táblázat)

$$\rho = \frac{\bar{\lambda}_p - 0,188}{\bar{\lambda}_p^2} \leq 1,0, \text{ ahol } \bar{\lambda}_p = \sqrt{\frac{f_y}{\sigma_{cr}}} = \frac{\bar{b}/t}{28,4\epsilon\sqrt{k_\sigma}}$$

ψ feszültségárány
 \bar{b} a vonatkozó szélesség [prEN 1993-1-1:2002; 5.2 táblázat] a következők szerint:

- b_w a gerinclemezre
- b zárt szelvény belső övlemez elemére (kivéve a derékszögű négyszög keresztmetszeteket)
- $b-3t$ derékszögű zárt szelvény öveire
- c szabadperemű övekre
- h egyenlő és egyenlőtlen szárú szögacélokra

k_σ a ψ feszültségáránytól függő horpadási tényező

t lemezvastagság

σ_{cr} a lemezhorpadási rugalmas kritikus feszültség $\sigma_{cr,p}$ [EN 1993-1-5, A

melléklet]

Feszültségeloszlás (nyomás pozitív)	b_{eff} hatékony szélesség
	$\psi = 1$ $b_{eff} = \rho \bar{b}$ $b_{e1} = 0,5 b_{eff}$ $b_{e2} = 0,5 b_{eff}$
	$1 > \psi \geq 0$ $b_{eff} = \rho \bar{b}$ $b_{e1} = \frac{2}{5 - \psi} b_{eff}$ $b_{e2} = b_{eff} - b_{e1}$

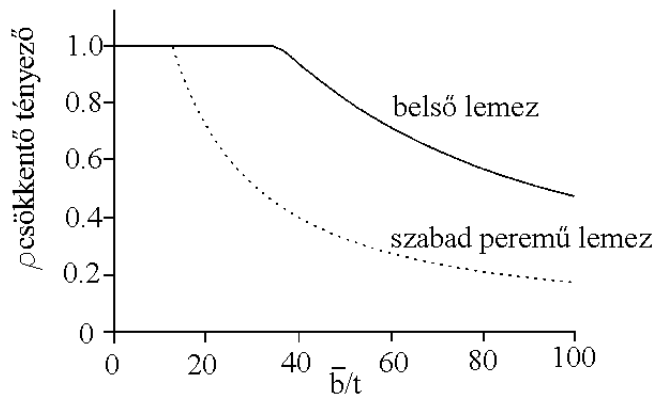
		$\psi < 0$ $b_{\text{eff}} = \rho b_c = \rho \bar{b} / (1 - \psi)$ $b_{e1} = 0,4 b_{\text{eff}}$ $b_{e2} = 0,6 b_{\text{eff}}$				
$\psi = \sigma_2 / \sigma_1$	1	$1 > \psi > 0$	0	$0 > \psi > -1$	-1	$-1 > \psi > -2$
Horpadási tényező k_σ	4,0	$8,2 / (1,05 + \psi)$	7,81	$7,81 - 6,29\psi + 9,78\psi^2$	23,9	$5,98(1 - \psi)^2$

5.3 táblázat Belső nyomott lemezelemek

Az 5.9 ábra bemutatja állandó megoszlású nyomófeszültséggel terhelt belső és szabad peremű nyomott lemezelemek \bar{b}/t arányának alakulását $f_y=235 \text{ N/mm}^2$ esetére.

Feszültségeloszlás (nyomás pozitív)		b_{eff} hatékony szélesség				
		$1 > \psi \geq 0$ $b_{\text{eff}} = \rho c$				
		$\psi < 0$ $b_{\text{eff}} = \rho b_c = \rho c / (1 - \psi)$				
$\psi = \sigma_2 / \sigma_1$	1	0	-1	$-1 > \psi > -3$		
Horpadási tényező k_σ	0,43	0,57	0,85	7		
		$1 > \psi \geq 0$ $b_{\text{eff}} = \rho c$				
		$\psi < 0$ $b_{\text{eff}} = \rho b_c = \rho c / (1 - \psi)$				
$\psi = \sigma_2 / \sigma_1$	1	$1 > \psi > 0$	0	$0 > \psi > -1$	1	
Horpadási tényező k_σ	0,43	$0,578 / (\psi + 0,34)$	1,70	$1,7 - 5\psi + 17,1\psi^2$	23,8	

5.4 táblázat Szabad peremű nyomott lemezelemek



5.9 ábra ρ csökkentő tényező alakulása

6. Teherbírási határállapotok

6.1. Általános elvek

Parciális tényezők:

$\gamma_{M0}=1.00$	parciális tényező keresztmetszeti osztályokra
$\gamma_{M1}=1.00$	parciális tényező rudak stabilitásvizsgálatára
$\gamma_{M2}=1.25$	parciális tényező húzott keresztmetszet szakadása esetén

6.2. Keresztmetszetek ellenállása

(1) a keresztmetszetek ellenállását a következő jelenségek befolyásolják:

- a teljes keresztmetszet képlékeny ellenállása
- a kötőelemek furataival gyengített szelvény ellenállása
- „shear lag” hatások [EN 1993-1-5]
- a nyírási horpadási ellenállás [EN 1993-1-5]

(2) Rugalmas vizsgálat esetén a keresztmetszet kritikus pontján teljesíteni kell:

$$\left(\frac{\sigma_{x,Ed}}{f_y/\gamma_{M0}}\right)^2 + \left(\frac{\sigma_{z,Ed}}{f_y/\gamma_{M0}}\right)^2 - \left(\frac{\sigma_{x,Ed}}{f_y/\gamma_{M0}}\right)\left(\frac{\sigma_{z,Ed}}{f_y/\gamma_{M0}}\right) + 3\left(\frac{\tau_{Ed}}{f_y/\gamma_{M0}}\right)^2 \leq 1$$

ahol $\sigma_{x,Ed}$ helyi hosszirányú normálfeszültség tervezési értéke a vizsgált pontban,

$\sigma_{z,Ed}$ helyi keresztirányú normálfeszültség tervezési értéke a vizsgált pontban,

τ_{Ed} helyi nyírófeszültség tervezési értéke a vizsgált pontban.

(3) Minden keresztmetszeti osztályra a lineáris kombináció használható.

Konzervatív megközelítés:

$$\frac{N_{Ed}}{N_{Rd}} + \frac{M_{y,Ed}}{M_{y,Rd}} + \frac{M_{z,Ed}}{M_{z,Rd}} \leq 1$$

ahol a nyírási hatás redukáló hatása figyelembe veendő az egyes komponensek esetére.

6.2.1. Húzás

A húzóerő N_{Ed} tervezési értékének minden keresztmetszetben teljesítenie kell a következő feltételt:

$$\frac{N_{Ed}}{N_{t,Rd}} \leq 1,0$$

ahol $N_{t,Rd}$ a keresztmetszet húzási ellenállásának tervezési értéke, amely a következő két érték közül a kisebb:

- (a) a teljes keresztmetszet képlékeny tervezési értéke
 $N_{pl,Rd} = A f_y / \gamma_{M1}$
- (b) a kapcsolóelemek furatainál a hasznos szelvény tervezési ellenállása
 $N_{u,Rd} = 0,9 A_{net} f_u / \gamma_{M2}$

6.2.2. Nyomás

A nyomóerő N_{Ed} tervezési értékének minden keresztmetszetben teljesítenie kell a következő feltételt:

$$\frac{N_{Ed}}{N_{c,Rd}} \leq 1,0$$

ahol $N_{c,Rd}$ a keresztmetszet nyomási ellenállásának tervezési értéke:

$$N_{c,Rd} = A f_y / \gamma_{M1} \text{ (1., 2. vagy 3. keresztmetszeti osztály esetén)}$$

$$N_{c,Rd} = A_{eff} f_y / \gamma_{M1} \text{ (4. keresztmetszeti osztály esetén)}$$

6.2.3. Hajlító nyomaték

A hajlító nyomaték M_{Ed} tervezési értékének minden keresztmetszetben teljesítenie kell a következő feltételt:

$$\frac{M_{Ed}}{M_{c,Rd}} \leq 1,0$$

ahol $M_{c,Rd}$ a keresztmetszet hajlítási ellenállásának tervezési értéke:

$$M_{c,Rd} = W_{pl} f_y / \gamma_{M1} \text{ (1. vagy 2. keresztmetszeti osztály esetén)}$$

$$M_{c,Rd} = W_{el,min} f_y / \gamma_{M1} \text{ (3. keresztmetszeti osztály esetén)}$$

$$M_{c,Rd} = W_{eff,min} f_y / \gamma_{M1} \text{ (4. keresztmetszeti osztály esetén)}$$

ahol $W_{el,min}$ és $W_{eff,min}$ a maximális rugalmas feszültséget adó pontra vonatkozó keresztmetszeti tényezők.

Húzott övben levő lyukakat nem kell számításba venni, ha a húzott övre teljesül:

$$\frac{A_{f,net} \cdot 0,9 f_u}{\gamma_{M2}} \geq \frac{A_f \cdot f_y}{\gamma_{M1}}$$

ahol A_f a húzott öv területe.

6.2.4. Nyírás

A nyíróerő V_{Ed} tervezési értékének minden keresztmetszetben teljesítenie kell a következő feltételt:

$$\frac{V_{Ed}}{V_{c,Rd}} \leq 1,0$$

ahol $V_{c,Rd}$ a keresztmetszet nyírasi ellenállásának tervezési értéke:

(I) képlékeny méretezés esetén:

$$V_{c,Rd} = V_{pl,Rd} = \frac{A_v (f_y / \sqrt{3})}{\gamma_{M1}}$$

ahol A_v a nyírt keresztmetszeti terület:

- (a) hengerelt I és H szelvények, gerinccel párhuzamos erő esetén:

- $A - 2bt_f + (t_w + 2r)t_f$, de nem kisebb, mint $\eta \cdot h_w \cdot t_w$
- (b) hengerelt U szelvények, gerinccel párhuzamos erő esetén:
 $A - 2bt_f + (t_w + r)t_f$
- (c) hengerelt T szelvények, gerinccel párhuzamos erő esetén:
 $0,9(A - bt_f)$
- (d) hegesztett I, H és zárt szelvények, gerinccel párhuzamos erő esetén:
 $\eta \Sigma(h_w \cdot t_w)$
- (e) hegesztett I, H és zárt szelvények, övvel párhuzamos erő esetén:
 $A - \Sigma(h_w \cdot t_w)$
- (f) állandó falvastagságú hengerelt zárt szelvények:
magassággal párhuzamos erő esetén $Ah/(b+h)$
szélességgel párhuzamos erő esetén $Ab/(b+h)$
- (g) állandó falvastagságú kör alakú szelvények:
 $2A/\pi$

ahol:

- A a keresztmetszet területe
b a teljes szélesség
h a teljes magasság
 h_w a gerincmagasság
r a hengerlési sugár
 t_f az öv vastagsága
 t_w a gerinc vastagsága (min)
 η lásd [EN 1993-1-5] vagy 1,0.

(II) rugalmas méretezés esetén $V_{c,Rd}$ -t abból a kritériumból határozzuk meg, hogy a mértékadó pontban

$$\frac{\tau_{Ed}}{f_y / (\sqrt{3} \cdot \gamma_{M1})} \leq 1,0$$

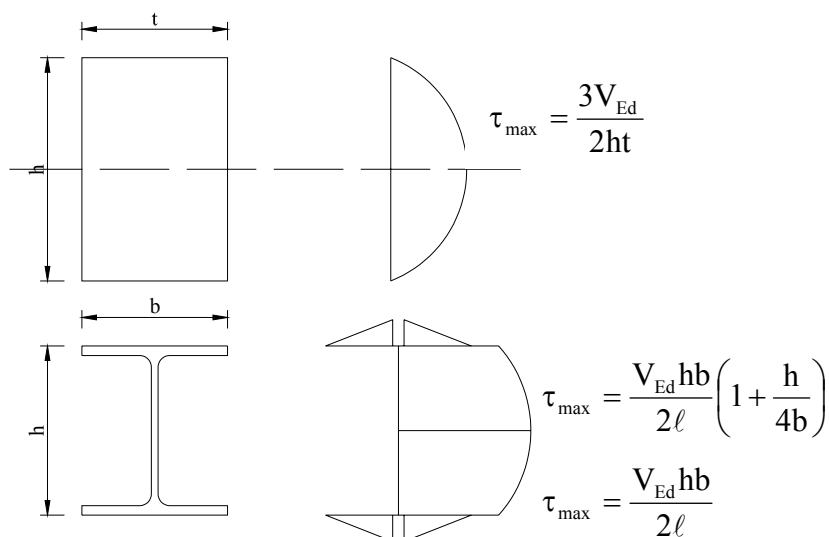
ahol

$$\tau_{Ed} = \frac{V_{Ed} \cdot S}{I \cdot t}$$

ahol

- V_{Ed} a nyíróerő tervezési értéke
S a vizsgált pont feletti terület elsőrendű nyomatéka
I a teljes keresztmetszet másodrendű nyomatéka
t a lemezvastagság a vizsgált pontnál.

ugyanakkor alkalmazva EN 1993-1-5-nek a nyírási horpadásra vonatkozó feltételét



6.1 ábra Nyírófeszültségek eloszlása

I és H szelvények esetén, ha a nyíróerő párhuzamos a gerinclemez középvonalával, a nyírófeszültség így is számítható:

$$\tau_{Ed} = \frac{V_{Ed}}{A_w}, \quad \text{ha} \quad A_f/A_w \geq 0,6$$

ahol A_f az öv területe
 $A_w = h_w t_w$ a gerinc területe

Emellett merevítés nélküli gerinc nyírási horpadási ellenállását is ellenőrizni kell az EN 1993-1-5 szerint, ha

$$\frac{h_w}{t_w} > 72 \frac{\epsilon}{\eta}$$

A nyírófeszültségek rugalmas eloszlását a 6.1 ábra mutatja.

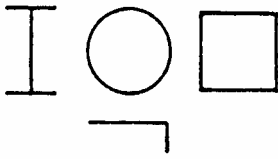
6.2.5. Hajlítás, nyírás, normálerő és keresztirányú erők interakciója

(a) Az 1. és 2. keresztmetszeti osztály esetén a képlékeny ellenállás interakciós formulája a 6.1 táblázatból vehető. A táblázatban szereplő $M_{N,V,Rd}$ értékek is a következő táblázatból vehetők.

$\left(\frac{M_{y,Sd}}{M_{N,V,y,Rd}} \right)^\alpha + \left(\frac{M_{z,Sd}}{M_{N,V,z,Rd}} \right)^\beta \leq 1$		
	α	β
I vagy H keresztmetszet	2	1
Zárt kör keresztmetszet	2	2
Zárt négyszög keresztmetszet	1,66	1,66
Tömör négyszög keresztmetszet és lemezek	1,73	1,73
A részletes vizsgálatot ld. az EN 1993-1-1-ben.		

6.1 táblázat Képlékeny interakciós formula, ha nincs szükség stabilitásvizsgálatra

A 3. keresztmetszeti osztály esetén a rugalmas ellenállás interakciós formulája a 6.2 táblázatból vehető.

Hengerelt vagy hegesztett szelvények	$V_{Sd} \leq 0,5 V_{Rd}$	$V_{Sd} > 0,5 V_{Rd}$
	$\frac{M_{y,Sd}}{M_{y,Rd}} + \frac{M_{z,Sd}}{M_{z,Rd}} \leq 1 - n$	$\frac{M_{y,Sd}}{M_{y,Rd}} + \frac{M_{z,Sd}}{M_{z,Rd}} \leq 1 - n - \rho$
$n = \frac{N_{Sd}}{N_{Rd}} = \frac{N_{Sd}}{A f_y}$		$\rho = \left(2 \frac{V_{Sd}}{V_{Rd}} - 1 \right)^2$

6.2 táblázat Kéttengelyű (ferde) hajlítás interakciós formulái

(b) A 3. keresztmetszeti osztály esetén a hosszirányú feszültségekre kimutatható:

$$\sigma_{x,Ed} \leq \frac{f_y}{\gamma_{M0}}$$

(c) A 4. keresztmetszeti osztály esetén kimutatható:

$$\frac{N_{Ed}}{A_{eff} f_y / \gamma_{M0}} + \frac{M_{y,Ed} + N_{Ed} e_{Ny}}{W_{eff,y,min} f_y / \gamma_{M0}} + \frac{M_{z,Ed} + N_{Ed} e_{Nz}}{W_{eff,z,min} f_y / \gamma_{M0}} \leq 1$$

ahol A_{eff} egyenletesen nyomott keresztmetszet hatékony értéke
 W_{eff} effektív keresztmetszeti tényezők
 e_N a nyomás hatására eltolódott effektív keresztmetszet súlyponti helyei

6.3. Szerkezeti rudak stabilitási ellenállása

6.3.1. Állandó keresztmetszetű nyomott rudak

(1) Nyomott rudak kihajlási ellenállását ellenőrizni kell: $\frac{N_{Ed}}{N_{b,Rd}} \leq 1,0$

A nyomott rúd tervezési kihajlási ellenállása:

1., 2. és 3. keresztmetszeti osztály esetén

$$N_{b,Rd} = \chi A \frac{f_y}{\gamma_{M1}}$$

4. keresztmetszeti osztály esetén

$$N_{b,Rd} = \chi A_{eff} \frac{f_y}{\gamma_{M1}}$$

ahol χ a kihajlási módnak megfelelő csökkentő tényező.

(2) Kihajlási görbék

Nyomóerő esetén a χ kihajlási csökkentő tényező meghatározható a $\bar{\lambda}$ dimenzió nélküli karcsúság figyelembevételével:

$$\chi = \frac{1}{\Phi + \sqrt{\Phi^2 - \bar{\lambda}^2}}, \text{ de } \chi \leq 1,0$$

$$\text{ahol: } \Phi = 0,5 \left[1 + \alpha (\bar{\lambda} - 0,2) + \bar{\lambda}^2 \right]$$

$$\bar{\lambda} = \sqrt{\frac{Af_y}{N_{cr}}} = \frac{L_{cr}}{i} \frac{1}{\lambda_1}$$

1., 2. és 3. keresztmetszeti osztályra

$$\bar{\lambda} = \sqrt{\frac{A_{eff}f_y}{N_{cr}}} = \frac{L_{cr}}{i} \sqrt{\frac{A_{eff}}{A}}$$

4. keresztmetszeti osztályra

α imperfekciós tényező (6.3 táblázat)
 N_{cr} a kihajlási módhoz tartozó rugalmas kritikus erő
 $L_{cr} = \beta L$ kihajlási hossz a vizsgált kihajlási síkban
 β kihajlási hossz tényező
 i a megfelelő tengelyre vonatkozó inerciasugár, a teljes keresztmetszet adataiból számolva

$$\lambda_1 = \pi \sqrt{\frac{E}{f_y}} = 93,9\varepsilon$$

$$\varepsilon = \sqrt{\frac{235}{f_y}}$$

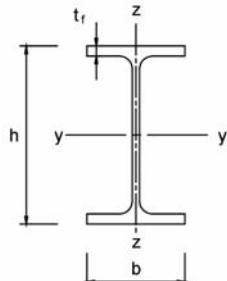
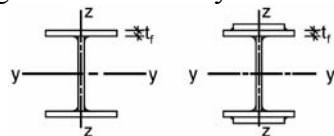

f_y N/mm²-ben

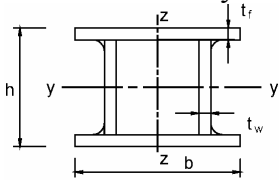
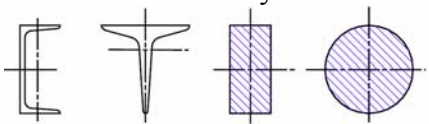
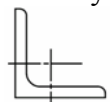
Kihajlási görbe	a ₀	a	b	c	d
Imperfekciós tényező	0,13	0,21	0,34	0,49	0,76

6.3 táblázat Adott kihajlási görbéhez tartozó α imperfekciós tényezők:

$\bar{\lambda} \leq 0,2$ vagy $\frac{N_{Ed}}{N_{cr}} \leq 0,04$ esetén a kihajlási hatás elhanyagolható.

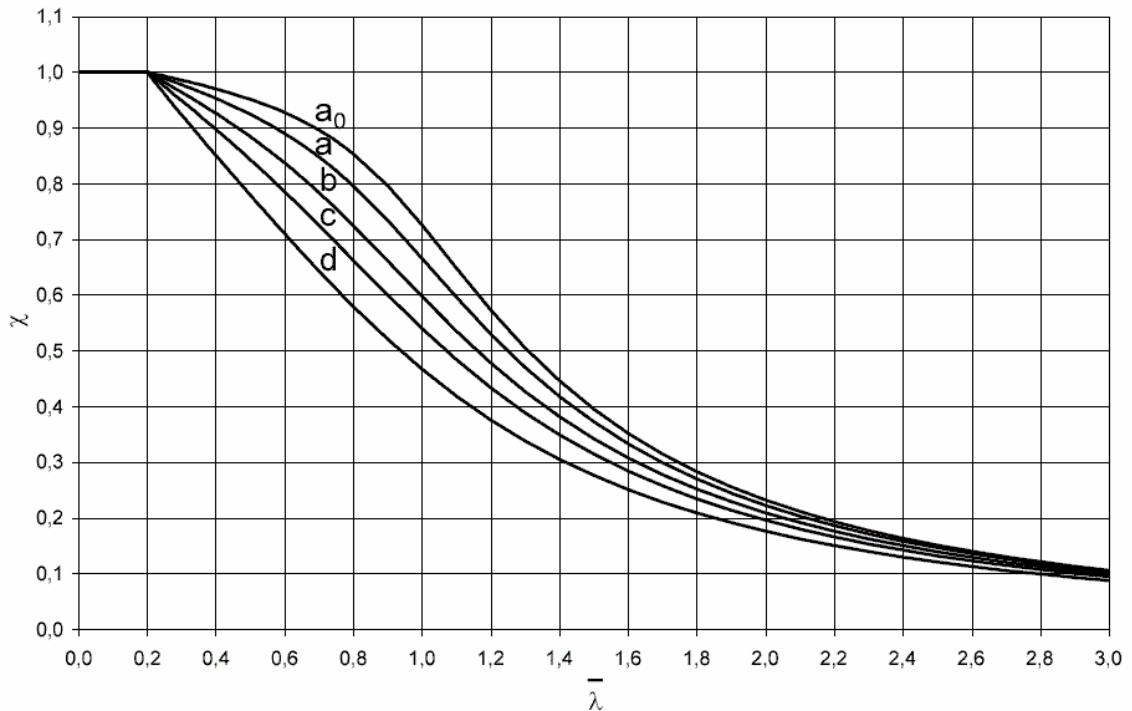
A kihajlási csökkentő tényezők görbéit a 6.2 ábra mutatja.

Keresztmetszet	Korlátozások	Kihajlási tengely	Kihajlási görbe	
			S 235 S 275 S 355 S 420	S 460
Hengerelt I szelvények 	$h/b > 1,2$ $t_f \leq 40$ mm $40 \text{ mm} < t_f \leq 100$ mm	y-y	a	a ₀
		z-z	b	a ₀
	$h/b \leq 1,2$ $t_f \leq 100$ mm $t_f > 100$ mm	y-y	b	a
		z-z	c	a
Hegesztett I szelvények 	$t_f \leq 40$ mm $t_f > 40$ mm	y-y	b	b
		z-z	c	c
Zárt szelvények 	melegen hengerelt hidegen alakított	bármelyik	a	a ₀
		bármelyik	c	c

Hegesztett zárt szelvények 	általában (kivéve a következőt)	bármelyik	b	b
	erős varratok: $a >$ $0,5 t_f$ $b / t_f < 30$ $h / t_w < 30$	bármelyik	c	c
U-, T- és tömör szelvények 		bármelyik	c	c
L- szelvény 		bármelyik	b	b

6.4 táblázat Kihajlási görbe kiválasztása adott keresztmetszethez

A 6.4 táblázat összefoglalja a különböző keresztmetszetek besorolásait.



6.2 ábra Kihajlási görbék:

6.3.2. Állandó keresztmetszetű hajlított rudak

(1) Oldalirányban nem megtámasztott, az erős tengely körül hajlított gerendák kifordulási ellenállását ellenőrizni kell:

$$\frac{M_{Ed}}{M_{b,Rd}} \leq 1,0$$

A hajlított rúd tervezési kifordulási ellenállása:

$$M_{b,Rd} = \chi_{LT} W_y \frac{f_y}{\gamma_{M1}}$$

ahol:

1. és 2. keresztmetszeti osztály esetén

$$W_y = W_{pl,y}$$

3. keresztmetszeti osztály esetén $W_y = W_{el,y}$

4. keresztmetszeti osztály esetén $W_y = W_{eff,y}$

(W_y meghatározásáról a gerendavégeken levő csavarlyukakat nem kell számításba venni.)

χ_{LT} a kifordulási csökkentő tényező.

(2) Kifordulási görbék

Állandó keresztmetszetű hajlított rudak χ_{LT} kifordulási csökkentő tényezője: (6.3 ábra)

$$\chi_{LT} = \frac{1}{\Phi_{LT} + \sqrt{\Phi_{LT}^2 - \bar{\lambda}_{LT}^2}}, \text{ de } \chi_{LT} \leq 1,0$$

ahol

$$\Phi_{LT} = 0,5 \left[1 + \alpha_{LT} (\bar{\lambda}_{LT} - 0,2) + \bar{\lambda}_{LT}^2 \right]$$

$$\bar{\lambda}_{LT} = \sqrt{\frac{W_y f_y}{M_{cr}}}$$

α_{LT} imperfekciós tényező (6.6 táblázat)

M_{cr} a rugalmas kifordulási kritikus nyomaték

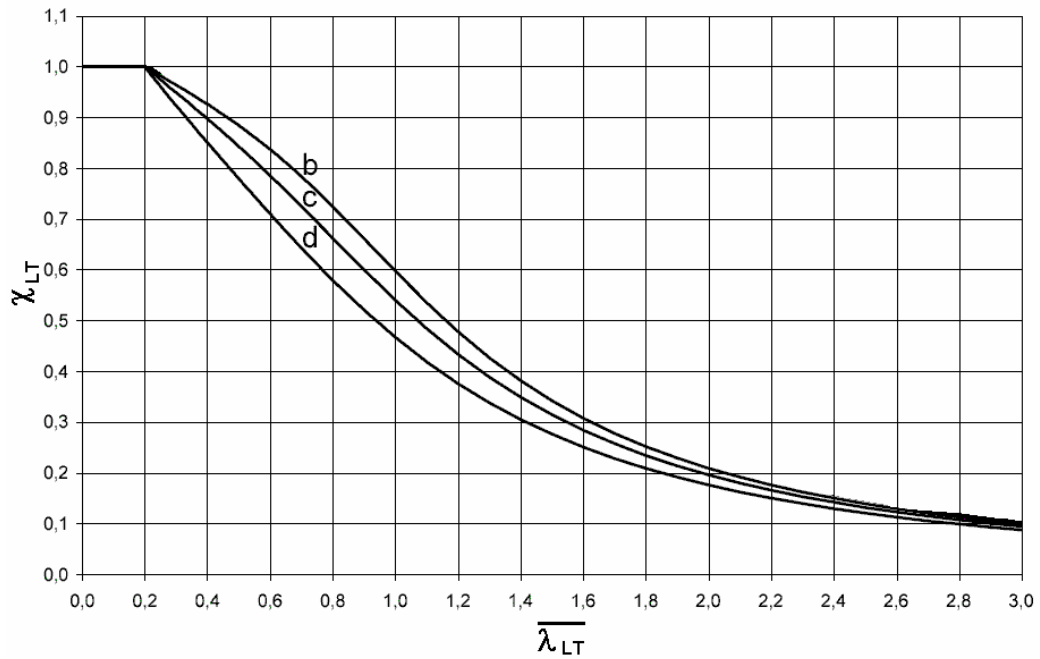
Kihajlási görbe	a	b	c	d
Imperfekciós tényező α_{LT}	0,21	0,34	0,49	0,76

6.5 táblázat Adott kifordulási görbéhez tartozó imperfekciós tényezők

Keresztmetszet	Korlátozások	Kihajlási görbe
Hengerelt I	$h/b \leq 2$	a
	$h/b > 2$	b
Hegesztett I	$h/b \leq 2$	c
	$h/b > 2$	d
Más keresztmetszet	-	d

6.6 táblázat Kifordulási görbe kiválasztása adott keresztmetszethez

A 6.6 táblázat a különböző keresztmetszetek besorolásait mutatja.



6.3 ábra Kifordulási görbék






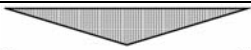


$\bar{\lambda}_{LT} \leq 0,2$, vagy $\frac{M_{Ed}}{M_{cr}} \leq 0,04$ esetén a kifordulási hatás elhanyagolható.

A rúd oldalirányú megtámasztásai közötti szakaszra a nyomaték megoszlás figyelembevételével χ_{LT} módosítható:

$$\chi_{LT,mod} = \frac{\chi_{LT}}{f} \quad ,de \quad \chi_{LT,mod} \leq 1$$

ahol: $f = 1 - 0,5(1 - k_c)[1 - 2,0(\bar{\lambda}_{LT} - 0,8)^2]$,de $f \leq 1,0$

k_c értékét a 6.7 táblázat mutatja.

Nyomaték eloszlása	1., 2. és 3. osztályú keresztmetszet	4. osztályú keresztmetszet
	k_c	k_c
 $\psi = 1$	1,0	1,0
 $-1 \leq \psi \leq 1$	$\frac{1}{1,33 - 0,33\psi}$	$\frac{1}{1,33 - 0,33\psi}$
	0,94	1,0
	0,90	1,0
	0,91	1,0
	0,86	1,0
	0,77	1,0
	0,82	1,0

6.7 táblázat k_c korrekciós tényező értéke a következői

6.3.3. Állandó keresztmetszetű hajlított és nyomott rudak

Hajlított és tengelyirányban nyomott rudaknak ki kell elégíteni:

$$\frac{N_{Ed}}{\chi_y N_{Rk}} + k_{yy} \frac{M_{y,Ed} + \Delta M_{y,Ed}}{\chi_{LT} \frac{M_{y,Rk}}{\gamma_{M1}}} + k_{yz} \frac{M_{z,Ed} + \Delta M_{z,Ed}}{\frac{M_{z,Rk}}{\gamma_{M1}}} \leq 1$$

$$\frac{N_{Ed}}{\chi_z N_{Rk}} + k_{zy} \frac{M_{y,Ed} + \Delta M_{y,Ed}}{\chi_{LT} \frac{M_{y,Rk}}{\gamma_{M1}}} + k_{zz} \frac{M_{z,Ed} + \Delta M_{z,Ed}}{\frac{M_{z,Rk}}{\gamma_{M1}}} \leq 1$$

ahol: N_{Ed} , $M_{y,Ed}$ és $M_{z,Ed}$ a nyomóerő, az y-y és a z-z tengelyre vett maximális nyomatékok tervezési értékei

ΔM_y , ΔM_z a súlypont eltolódásából származó nyomatékok

χ_y és χ_z a kihajlási csökkentő tényezők

χ_{LT} a kifordulási csökkentő tényező

k_{yy} , k_{yz} , k_{zy} , k_{zz} interakciós tényezők, meghatározásukra két módszer adott.

Km-i osztály	1	2	3	4
A_i	A	A	A	A_{eff}
W_y	$W_{pl,y}$	$W_{pl,y}$	$W_{el,y}$	$W_{eff,y}$
W_z	$W_{pl,z}$	$W_{pl,z}$	$W_{el,z}$	$W_{eff,z}$
$\Delta M_{y,Ed}$	0	0	0	$e_{N,y} N_{Ed}$
$\Delta M_{z,Ed}$	0	0	0	$e_{N,z} N_{Ed}$

6.8 táblázat $N_{Rk} = f_y A$, $M_{i,Rk} = f_y W_i$ és $\Delta M_{i,Ed}$ értékei

Az EN 1993-1-1 szabvány hajlított és nyomott rudak vizsgálatára két alternatív lehetőséget ajánl. (A részleteket a Táblázatok c. könyv [Iványi 2004] részletesen tartalmazza)

6.3.4. Rudak és keretek kihajlás-vizsgálatának általános módszere

Az általános módszer alkalmazására kerülhet sor:

- változó keresztmetszetű rudak,
- torzítási hatás figyelembevétele,
- egytengelyű hajlítással, nyomóerővel és nyírással terhelt rudak,
- különleges végkeresztmetszeti megtámasztások
- keretek, melyek rúdjai az (a)-(d) eseteket tartalmazzák.

(i) Keretekre, melyek gerendákból, vagy oszlopokból, vagy oszlop-gerendákból állnak és egytengelyű hajlítással és nyomóerővel terhelték, az elcsavarodó kihajlás, vagyis a keret síkjából való eltolódás esetén az ellenállás ellenőrzése:

$$\frac{\chi_{LT} \alpha_{ult}}{\gamma_{M1}} \geq 1,0$$

ahol:

χ_{LT} a kifordulási csökkentő tényező

α_{ult} a minimális teherparaméter tervezési értéke a keret legkritikusabb keresztmetszetének karakterisztikus ellenállása a kifordulás figyelembevétele nélkül, de a keretsíkban bekövetkező másodrendű hatások számításbavételével.

A relatív karcsúság:

$$\bar{\lambda} = \sqrt{\frac{\alpha_{ult}}{\alpha_{cr}}}$$

ahol: α_{crit} a minimális teherparaméter tervezési értéke a keret rugalmas kritikus ellenállása a kifordulás figyelembevételevel.

α_{cr} és α_{ult} meghatározható végeeselemes analízis segítségével is, olyan elemeket és megoldásokat alkalmazva, melyekkel a megfelelő típusú alakváltozások modellezhetők. α_{crit} meghatározásánál a számítási modell figyelembe kell vegye a kifordulási és csavarási hatásokat.

α_{cr} meghatározásánál a keresztmetszet vetemedése és bármely megfogási hatás (pl. merevítők, egyszerű vagy folytatólagos övkapcsolatok) is figyelembe vehetők.

7. Használhatósági határállapotok

7.1. Alapelvek

(1) Az acélszerkezetekre vonatkozó használhatósági határállapotok a következők:

- alakváltozások, vagy lehajlások, melyek a szerkezet megjelenését vagy használhatóságát kedvezőtlenül befolyásolják (beleértve a gépek vagy egyéb berendezések üzemzavarait is);
- rezgés, lengés, vagy kilengés, mely kellemetlen közérzetet okoz az épület használóinak, vagy károsítja az épületben található javakat;
- alakváltozás, lehajlás, rezgés, lengés vagy kilengés, mely kárt okoz a burkolatokban vagy a nem szerkezeti elemekben.

(2) Az alakváltozásokat, lehajlásokat és rezgéseket korlátozni kell a fenti határok túllépésének elkerülése érdekében.

7.2. Lehajlások

7.2.1. Követelmények

(1) Az acélszerkezeteket és alkotóelemeiket úgy kell kialakítani, hogy a lehajlások azon határon belül legyenek, amelyben a megbízó, a tervező és az illetékes hatóság megegyezett, és amely megfelel az épület tervezett használatának és használóinak, továbbá az alátámasztott anyagok természetének.

(2) A szabályzatban lévő adatok tapasztalati értékek. Ezek a számítási eredményekkel való összevetés céljára alkalmazandók, így nem értelmezhetők erőtan követelményként.

(3) A lehajlásokat a másodrendű hatásokra és a lehetséges képlékeny alakváltozásokra vonatkozóan tett megfelelő közelítésekkel kell számolni.

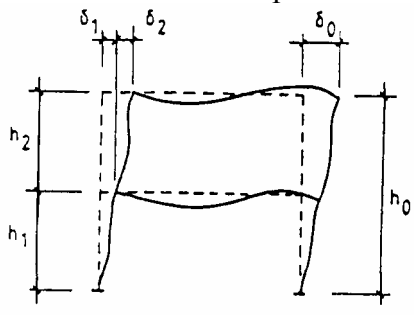
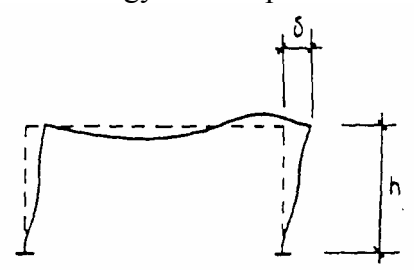
7.2.2. Határértékek

(1) A függőleges lehajlások alakulását a 7.1 táblázat mutatja.

$\delta_{\max} = \delta_1 + \delta_2 - \delta_0$	δ_{\max} - a támaszokat összekötő egyenes vonalhoz viszonyított végleges lehajlás δ_0 - a terheletlen gerenda kezdeti felemelkedése (túlemelés) (0. állapot) δ_1 - a gerenda lehajlásának állandó terhek miatti megváltozása (1. állapot) δ_2 - a gerenda lehajlásának változó terhek miatti megváltozása (2. állapot)
7.1 táblázat: Figyelembe veendő függőleges lehajlások	



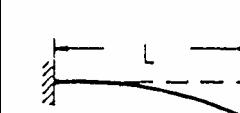
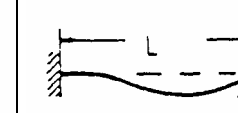
Szerkezetek, terhelési körülmények	Határértékek	
	δ_{\max}	δ_2
- tetők általában	L/200	L/250
- járható tetők (a fenntartáson kívül is)	L/250	L/300
- födémek általában	L/250	L/300
- rideg burkolatot, vagy nem-rugalmas szerkezeti rétegeket tartalmazó tetők és födémek	L/250	L/350
- oszlopokat alátámasztó födémek (kivéve, ha a teherbírási határállapotra elvégzett erőtani számításban a lehajlások hatása figyelembe lett véve)	L/400	L/500
Ahol δ_{\max} az épület megjelenését kedvezőtlenül befolyásolhatja	L/250	-
Konzolos gerendáknál: L – a konzol hosszának kétszerese		
Esővíz elvezetés:		
- ha a tető lejtése kevesebb, mint 5%, ellenőrizni kell, hogy az esővíz nem gyűlik-e össze tócsákban;		
- ha a tető lejtése kevesebb, mint 3%, azt is ellenőrizni kell, hogy az esővíz saját súlyából adódó többlet-lehajlás nem okoz-e károsodást.		
7.2 táblázat: A függőleges lehajlások ajánlott határértékei		

(2) Épületekre az ajánlott vízszintes elmozdulási határértékek az oszlopok felső végén értelmezve: (7.3 táblázat)

Többszintes épület	Egyszintes épület
	
$\delta_1 \leq h_1/300$ $\delta_2 \leq h_2/300$ $\delta_0 \leq h_0/500$	Daru nélküli portálkeretek: $\delta \leq h/150$ Egyéb egyszintes épületek: $\delta \leq h/300$
7.3 táblázat: A vízszintes elmozdulások ajánlott határértékei	

(3) Födémek rezgései

Ha a frekvenciák és a lehajlás értékei a 7.4 táblázatban adott értékeknél kisebbek, a szerkezet rezgései, rázkódásai nem okoznak kényelmetlenségeket.

	Legalacsonyabb önrezgésszám f_o [Hz]	Teljes lehajlás korlátjai $\delta_1 + \delta_2$ [mm]	
Emberi közlekedésre szolgáló födémek	3	28	
Ritmikus mozgással (ugrálás, táncolás) terhelt födémek	5	10	
$f_o = \frac{1}{2\pi} \frac{\alpha}{L^2} \sqrt{\frac{EI}{m}} \quad [\text{Hz}]$			
f_o - önrezgésszám E – rugalmassági modulus I - inercianyomaték L - fesztáv m – hosszegységre jutó tömeg α - az alpmódushoz tartozó frekvenciatényező			
 $\alpha = 9.869$	 $\alpha = 22.37$	 $\alpha = 3.516$	 $\alpha = 15.418$
7.4 táblázat: Födémek rezgéseinek ajánlott határértékei			

8. Szerkezeti kapcsolatok

8.1. Kötőelemek: Csavarozott, szegecselt és csapos kapcsolatok

8.1.1. γ_M parciális biztonsági tényezők

rudak és keresztmetszetek ellenállása	$\gamma_{M0} = 1,00, \gamma_{M1} = 1,00$ és $\gamma_{M2} = 1,25$
csavarozott kapcsolatok ellenállása	$\gamma_{M2} = 1,25$
szegecselt kapcsolatok ellenállása	
csapos kapcsolatok ellenállása	
hegesztett kapcsolatok ellenállása	
palástnyomási ellenállás	
megcsúszási ellenállás: - hibrid kapcsolatok vagy fárasztó teher esetén - további esetek	$\gamma_{M3} = 1,25$ $\gamma_{M3} = 1,10$
injektált csavar teherbírasi ellenállása	$\gamma_{M4} = 1,00$
vékonyfalú zártszelvényű rácsos tartók kapcsolatainak ellenállása	$\gamma_{M5} = 1,00$
csapos kapcsolatok ellenállása használhatósági határállapotban	$\gamma_{M6,ser} = 1,00$
nagyszilárdságú csavarok előfeszítése	$\gamma_{M7} = 1,10$

8.1 táblázat Parciális biztonsági tényezők

8.1.2. Csavarok f_{yb} folyási szilárdságának és f_{ub} húzási szakadási szilárdságának nominális értékei (8.2 táblázat)

Csavarminőség	4.6	5.6	6.8	8.8	10.9
f_{yb} (N/mm ²)	240	300	480	640	900
f_{ub} (N/mm ²)	400	500	600	800	1000

8.2 táblázat Csavarok folyási és húzási szakadási szilárdságának nominális értékei

8.2. Csavarozott kapcsolatok ellenállása

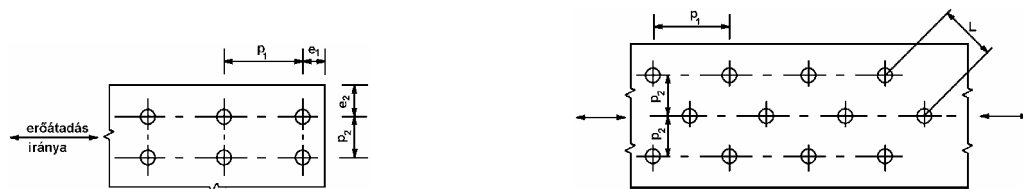
A csavarozott kapcsolatok ellenállásait a 8.3 táblázat foglalja össze.

Osztály	Feltétel	Megjegyzés
Nyírt csavarok		
A palástnyomásra működő	$F_{v,Ed} \leq F_{v,Rd}$ $F_{v,Ed} \leq F_{b,Rd}$	Feszítés nem szükséges Minden minőség 4.6 és 10.9 között
B használati határállapotban megcsúszásnak ellenálló	$F_{v,Ed,ser} \leq F_{s,Rd,ser}$ $F_{v,Ed} \leq F_{v,Rd}$ $F_{v,Ed} \leq F_{b,Rd}$	Feszített nagyszilárdságú csavarok (8.8 vagy 10.9) Nincs megcsúszás a használati határállapotban
C teherbírasi határállapotban megcsúszásnak ellenálló	$F_{v,Ed} \leq F_{s,Rd}$ $F_{v,Ed} \leq F_{b,Rd}$ $F_{v,Ed} \leq N_{net,Rd}$	Feszített nagyszilárdságú csavarok (8.8 vagy 10.9) Nincs megcsúszás a teherbírasi határállapotban $N_{net,Rd} = \frac{A_{net} f_y}{\gamma_{M1}}$
Húzott csavarok		
D nem feszített csavarok	$F_{t,Ed} \leq F_{t,Rd}$ $F_{t,Ed} \leq B_{p,Rd}$	Feszítés nem szükséges Minden minőség 4.6 és 10.9 között

		$B_{p,Rd} = 0,6 \pi d_m t_p f_u / \gamma_{M2}$
E feszített csavarok	$F_{t,Ed} \leq F_{t,Rd}$ $F_{t,Ed} \leq B_{p,Rd}$	Feszített nagyszilárdságú csavarok (8.8 vagy 10.9) $B_{p,Rd} = 0,6 \pi d_m t_p f_u / \gamma_{M2}$

8.3 táblázat Csavarozott kapcsolatok ellenállásai

8.2.1. Csavar- és szegecslyukak elhelyezése (8.1 ábra)

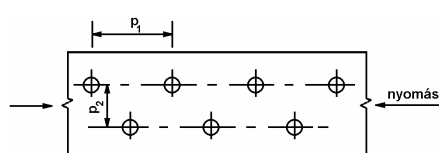


(a) osztástávolságok jelölése

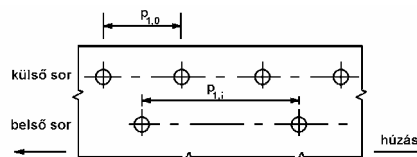
(b) eltolt csavarsorok osztásainak jelölése

$$p_2 \geq 1,2d_0$$

$$L \geq 2,4d_0$$



(c) eltolt csavarsorok osztástávolsága nyomott elemben



(d) eltolt csavarsorok osztástávolsága húzott elemben

$$p_1 \leq 14t \text{ és } \leq 200 \text{ mm}$$

$$p_2 \leq 14t \text{ és } \leq 200 \text{ mm}$$

$$p_{1,o} \leq 14t \text{ és } \leq 200 \text{ mm (külső sor)}$$

$$p_{1,i} \leq 28t \text{ és } \leq 400 \text{ mm (belső sor)}$$

8.1 ábra Csavarlyukak elhelyezése

8.2.2. Minimális és maximális osztástávolságok, az elem végétől és szélétől mért távolságok (8.4 táblázat)

Méret	Minimális távolság	Maximális távolság ¹⁾²⁾³⁾		
		EN 10025 szerinti szerkezeti acélok, kivéve EN 10025-5		EN 10025-5 szerinti szerkezeti acélok
		fokozott korrózióveszély	nincs fokozott korrózióveszély	normál acélok
e_1	$1,2 d_0$	$4t + 40 \text{ mm}$		$\max (8t, 125 \text{ mm})$
e_2	$1,2 d_0$	$4t + 40 \text{ mm}$		$\max (8t, 125 \text{ mm})$
e_3	$1,5 d_0$			
e_4	$1,5 d_0$			
p_1	$2,2 d_0$	$\min (14t, 200 \text{ mm})$	$\min (14t, 200 \text{ mm})$	$\min (14t_{\min}, 175 \text{ mm})$
$p_{1,o}$		$\min (14t, 200 \text{ mm})$		
$p_{1,i}$		$\min (28t, 400 \text{ mm})$		
p_2 ⁴⁾	$2,4 d_0$	$\min (14t, 200 \text{ mm})$	$\min (14t, 200 \text{ mm})$	$\min (14t_{\min}, 175 \text{ mm})$

- 1) Az osztástávolságok, elemvég- és széltávolságoknak nincs maximális értéke, kivéve a következőket:
- nyomott elemeknél a lokális kihajlás, illetve a korróziós tönkremenetel elkerülése végett az annak kitett elemeknél, valamint
 - húzott elemeknél a korróziós tönkremenetel elkerülése érdekében.
- 2) Két kötőelem közötti nyomott lemezelem lokális kihajlása $0,6 \times p_1$ kihajlási hosszú nyomott oszlopként számítható. A kötőelemek közötti lokális kihajlást nem kell ellenőrizni, ha $p_1/t < 9\epsilon$. A széltávolság nem haladhatja meg a nyomott szabad lemezsélre vonatkozó lokális kihajlási előírásokat. A végtávolságot ez az előírás nem befolyásolja.
- 3) t a kapcsolt elemek közül a vékonyabb külső elem vastagsága
- 4) Eltolt csavarsorok esetén a minimális sortávolságra $p_2 = 1,2 d_0$ alkalmazható, ha az eltolt sorok bármely két kötőeleme közötti minimális távolság $L \geq 2,4 d_0$.

8.4 táblázat Minimális és maximális csavartávolságok

8.2.3. Egyes kötőelemek tervezési ellenállása nyírás és/vagy húzás esetén (8.5 táblázat)

Tönkremenetel módja	Csavarok	Szegecsek
Nyírt felületenkénti nyírás ellenállás	$F_{v,Rd} = \frac{\alpha_v \cdot f_{ub} \cdot A}{\gamma_{M2}}$ <p>+ ha a nyírt sík a csavar menetes részén halad át $A = A_s$ a csavar feszültség-keresztmetszete</p> <p>- 4.6, 5.6 és 8.8 anyagú csavar esetén: $\alpha_v = 0,6$</p> <p>- 4.8, 5.8, 6.8 és 10.9 anyagú csavar esetén: $\alpha_v = 0,5$</p> <p>+ ha a nyírt sík a csavar menet nélküli részén halad át A a csavarszár keresztmetszete $\alpha_v = 0,6$</p>	$F_{v,Rd} = \frac{0,6 \cdot f_{ur} \cdot A_o}{\gamma_{M2}}$
Palástnyomási ellenállás ⁽¹⁾²⁾³⁾	$F_{b,Rd} = \frac{k_1 \cdot \alpha_b \cdot f_u \cdot d \cdot t}{\gamma_{M2}}$ <p>ahol $\alpha_b = \min\left(\alpha_d; \frac{f_{ub}}{f_u}; 1,0\right)$</p> <p>a teherátadás irányában:</p> <p>- szélső csavarokra: $\alpha_d = \frac{e_1}{3d_0}$, belső csavarokra:</p> $\alpha_d = \frac{p_1}{3d_0} - \frac{1}{4}$ <p>a teherátadás irányára merőlegesen:</p> <p>- szélső csavarokra: $k_1 = \min\left(2,8 \frac{e_2}{d_0} - 1,7; 2,5\right)$</p> <p>- belső csavarokra: $k_1 = \min\left(1,4 \frac{p_2}{d_0} - 1,7; 2,5\right)$</p>	
Húzási ellenállás ²⁾	$F_{t,Rd} = \frac{k_2 \cdot f_{ub} \cdot A_s}{\gamma_{M2}}$ <p>ahol $k_2 = 0,63$ süllyesztett fejű csavarokra $k_2 = 0,9$ egyébként</p>	$F_{t,Rd} = \frac{0,6 \cdot f_{ur} \cdot A_o}{\gamma_{M2}}$
Kigömbölgései ellenállás	$B_{p,Rd} = 0,6 \pi d_m t_p f_u / \gamma_{M2}$	nem kell ellenőrizni
Összetett igénybevétel: húzás és nyírás	$\frac{F_{v,Ed}}{F_{v,Rd}} + \frac{F_{t,Ed}}{1,4 F_{t,Rd}} \leq 1,0$	

- 1) Az $F_{b,Rd}$ palástnyomási ellenállás:
- túlméretes csavarlyuk esetén a normál csavarlyukú csavarok palástnyomási ellenállásának 0,8-szerese;
 - hasított csavarlyuk esetén, ahol a hasított csavarlyuk hossz tengelye merőleges az erőátadás irányára, a normál csavarlyukú csavarok palástnyomási ellenállásának 0,6-szerese.
- 2) Süllyesztett fejű csavaroknál:
- az $F_{b,Rd}$ palástnyomási ellenállás meghatározásánál a t lemeztvastagságból le kell vonni a süllyeszték mélységének felét;
 - az $F_{t,Rd}$ húzási ellenállás meghatározásánál a süllyesztésnek szabványosnak kell lennie, máskülönben a húzási ellenállást módosítani kell a tényleges kialakításnak megfelelően.
- 3) Ha a csavarra jutó erő nem párhuzamos a lemezszéllel, a palástnyomási ellenállást külön kell ellenőrizni a csavarra jutó erő lemezszéllel párhuzamos és arra merőleges komponenseire.

8.5 táblázat Kötőelemek nyírási és/vagy húzási ellenállásai

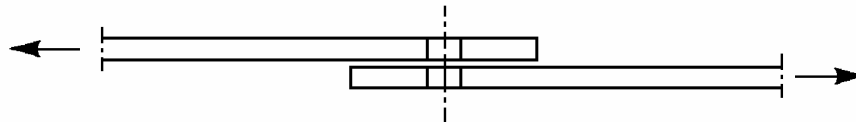
- (1) 8.8 és 10.9 csavarminőségű NF-kapcsolat esetén a feszítőerő tervezési értéke $F_{p,Cd}$ a következő:

$$F_{p,Cd} = 0,7 f_{ub} A_s / \gamma_{M7}$$

A 8.5 táblázatban lévő nyírási ellenállási $F_{v,Rd}$ értékek szabványos furatú csavarkapcsolatoknál alkalmazhatók.

- (2) M12 és M14-es csavarok esetén is alkalmazható 2 mm-es lyukhézag (a lyukátmérő és a lyukba kerülő csavar szárátmérője közötti különbség), ha a csavarkép palástnyomási ellenállása egyenlő vagy nagyobb a csavarkép nyírási ellenállásánál. Ekkor a 4.8, 5.8, 6.8, 8.8 vagy 10.9-es csavarminőségű kapcsolat nyírási ellenállása a 8.5 táblázatból meghatározott érték 0,85-szöröse.
- (3) Egyszerű átlapolt lemezkötés és egy csavarsor esetén (8.2 ábra) a csavarkötésben alátétet kell alkalmazni a csavarfej és a csavaranya alatt is, a csavarok palástnyomási ellenállásának $F_{b,Rd}$ felső határa pedig:

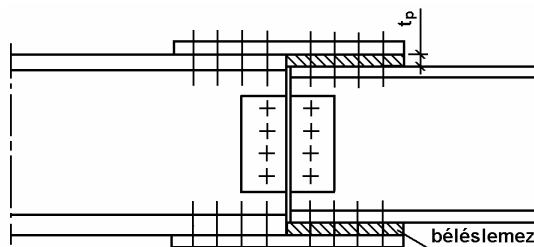
$$F_{b,Rd} \leq 1,5 f_u d t / \gamma_{M2}$$



8.2 ábra Átlapolt lemezkötés

- (4) Ha a csavarok vagy szegecsek nyírásos és palástnyomásos kapcsolatban béléslemezen (8.3 ábra) keresztül adják át az erőt, mely béléslemez t_p vastagsága nagyobb, mint a d névleges átmérő egyharmada, a fenti táblázatból meghatározott nyírási ellenállás tervezési értékét csökkenteni kell β_p csökkentő tényezővel:

$$\beta_p = \frac{9d}{8d + 3t_p} \quad , \quad \text{de} \quad \beta_p \leq 1$$



8.3 ábra Béléslemezes kapcsolat

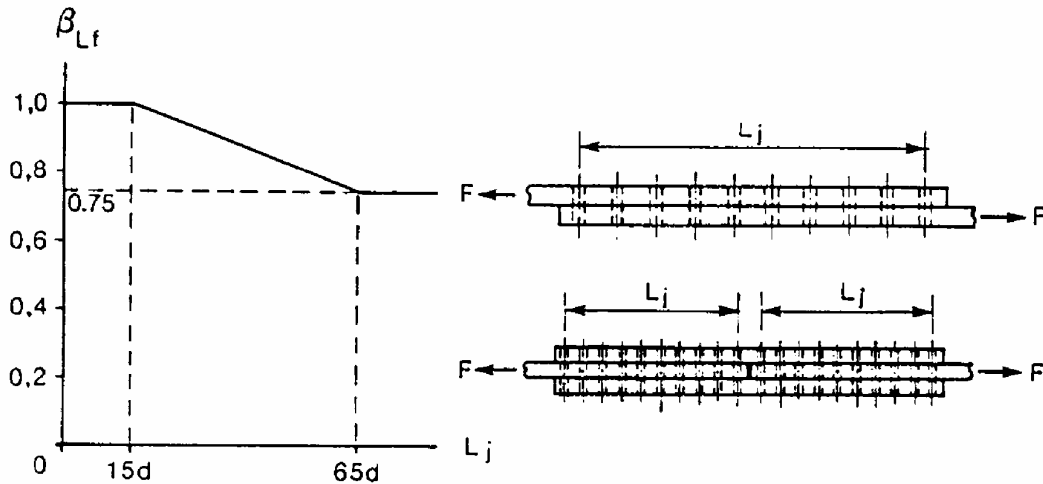
- (5) Szegecselt kapcsolatokat nyírásos teherátadásra kell méretezni. Ha a húzás is szükséges az egyensúly kielégítéséhez, akkor a húzóerő tervezési értéke $F_{t,Ed}$ nem haladhatja meg a 8.5 táblázatban megadott $F_{t,Rd}$ húzási ellenállást.

Általános szabályként a szegecs átfogási hossza nem haladhatja meg a 4,5d értéket kalapácsos szegecselésnél és a 6,5d értéket sajtolásos szegecselésnél.

8.2.4. Hosszú kapcsolatok

Hosszú kapcsolatokban (8.4 ábra), ahol a két végső csavar erőátadás irányában mért L_j tengelytávolsága 15 d-nél nagyobb, a nyírt csavarok $F_{v,Rd}$ nyírási ellenállását a következő tényezővel kell csökkenteni:

$$\beta_{LF} = 1 - \frac{L_j - 15d}{200d} \leq 1,0, \text{ ahol } 0,75 \leq \beta_{LF}$$



8.4 ábra Hosszú kapcsolatok

8.2.5. 8.8 vagy 10.9 csavarok megcsúszásnak ellenálló kapcsolatokban

(1) Megcsúszási ellenállás

8.8 vagy 10.9-es előfeszített csavarok megcsúszási ellenállása:

$$F_{s,Rd} = \frac{k_s n \mu}{\gamma_{M3}} F_{p,Cd}$$

- ahol:
- $k_s = 1,0$ normál csavarlyukra;
 - $k_s = 0,85$ túlméretes és rövid hasíték lyukakra (a hasíték iránya merőleges az erőátadás irányára);
 - $k_s = 0,7$ hosszú hasíték lyukakra (a hasíték iránya merőleges az erőátadás irányára);
 - $k_s = 0,76$ túlméretes és rövid hasíték lyukakra (a hasíték iránya párhuzamos az erőátadás irányával);
 - $k_s = 0,63$ hosszú hasíték lyukakra (a hasíték iránya párhuzamos az erőátadás irányával);
 - n a súrlódó felületek száma
 - μ a felület-előkészítéstől függő súrlódási tényező

Felület-előkészítési osztályok	μ súrlódási tényező
A – sörétezett vagy szemcsefűtt, de festetlen felületek	0,5
B – sörétezett vagy szemcsefűtt, majd festett felületek	0,4
C – drótkéfézéssel vagy lángszórással tisztított felületek	0,3
D – kezeletlen felületek	0,2
Egyéb felület-előkészítés esetén kísérleti úton kell a besorolást elvégezni.	

8.6 táblázat Felület előkészítési osztályok

(2) Húzás és nyírás kombinációja

Ha a megcsúszásnak ellenálló kapcsolatot húzóerő $F_{t,Ed}$ és nyíróerő $F_{v,Ed}$ is terheli, a megcsúszási ellenállás a következő:

$$F_{s,Rd} = \frac{k_s n \mu (F_{p,Cd} - 0,8 F_{t,Ed})}{\gamma_{M3}}$$

8.2.6. Kötőelemlyukak okozta gyengítések

(1) "Együttes nyírás" – hatékony nyírt felületek (8.5 ábra)

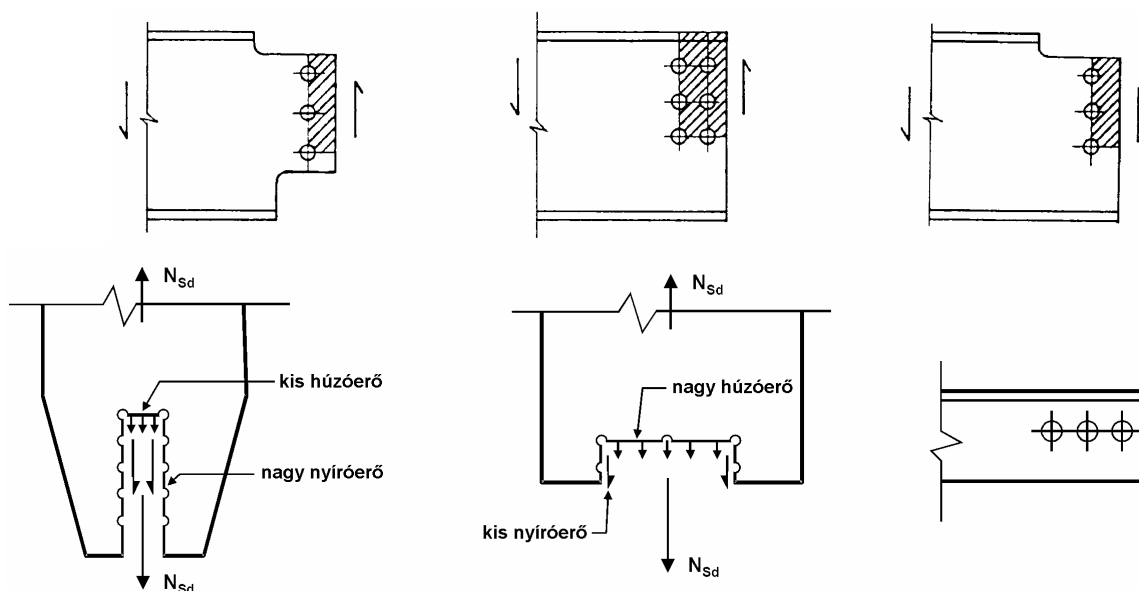
Az "együttes nyírás" ellenállás tervezési értéke szimmetrikus csavarkép és központos terhelés esetén:

$$V_{eff.1,Rd} = f_u A_{nt} / \gamma_{M2} + (1 / \sqrt{3}) f_y A_{nv} / \gamma_{M0}$$

ahol: A_{nt} a húzásnak kitett tiszta terület
 A_{nv} a nyírásnak kitett tiszta terület

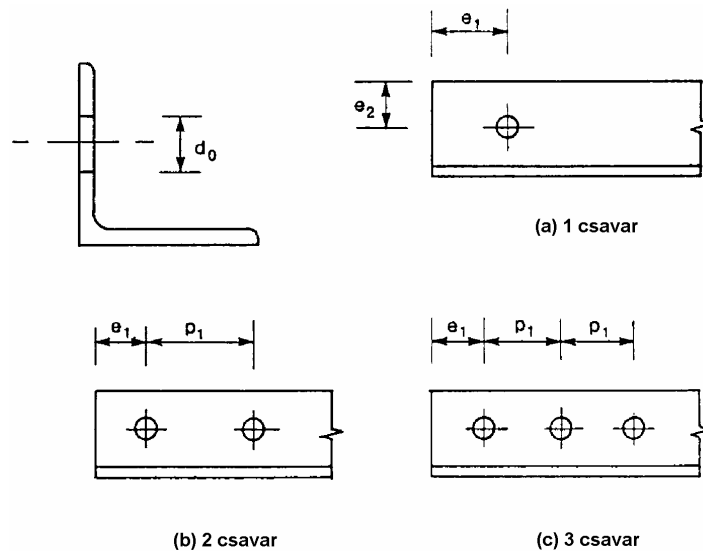
Gerendavégeknél, ahol a nyíróerő külpontosan hat a csavarkép súlypontjához képest, az együttes nyírás tervezési értéke:

$$V_{eff.2,Rd} = 0,5 f_u A_{nv} / \gamma_{M2} + (1 / \sqrt{3}) f_y A_{nt} / \gamma_{M0}$$



8.5 ábra Hatékony nyírt felületek

(2) Egyik szárán kapcsolt szögacél (8.6)



8.6 ábra Egyik szárán kapcsolt szögacél

Az egyik szárán kapcsolt szögacél tervezési ellenállása a következő:

$$N_{u,Rd} = \frac{2,0 (e_2 - 0,5d_0) t f_u}{\gamma_{M2}} \quad \text{1 csavar esetén}$$

$$N_{u,Rd} = \frac{\beta_2 A_{net} f_u}{\gamma_{M2}} \quad \text{2 csavar esetén}$$

$$N_{u,Rd} = \frac{\beta_3 A_{net} f_u}{\gamma_{M2}} \quad \text{3 vagy több csavar esetén}$$

ahol: A_{net} a szögacél gyengített keresztmetszeti területe. Rövidebb szárán kapcsolt egyenlőtlen szárú szögacélnál A_{net} értéke nem vehető nagyobbra, mint a kisebbik oldal hosszúságával megegyező szárméretű, képzelt egyenlő szárú szögacél gyengített keresztmetszeti területe.

β_2 és β_3 a csavarlyukak p_1 távolságától függő csökkentő tényezők a 8.7 táblázatban megadott értékekkel. A közbenső értékek lineáris interpolációval számíthatók.

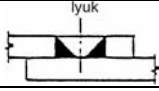
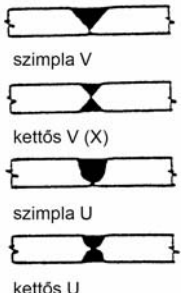
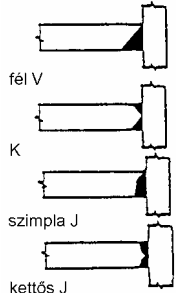
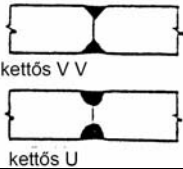
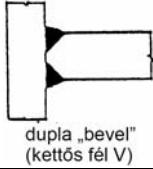
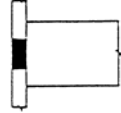
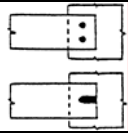
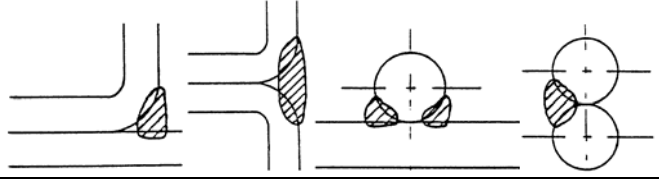
csavarlyukak távolsága p_1	$\leq 2,5 d_0$	$\geq 5,0 d_0$
2 csavar β_2	0,4	0,7
3 vagy több csavar β_3	0,5	0,7

8.7 táblázat Csökkentő tényezők

8.3. Hegesztett kapcsolatok

8.3.1. Hegesztett kötések általános típusai (8.8 táblázat)

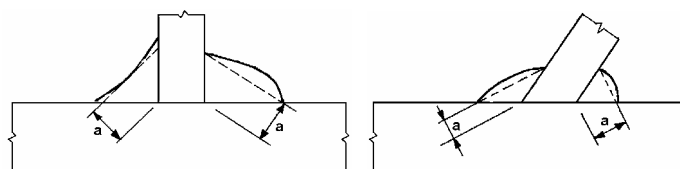
Varrattípus	kötéstípus		
	tompakötés	T-kötés	átlapolt kötés
sarokvarrat			

lyukperemvarrat			
teljes beolvadású tompavarrat ¹⁾			
részleges beolvadású tompavarrat ¹⁾			
telivarrat			
horonyvarrat			
¹⁾ Esetenként a tompavarratok bármilyen vágásos élmegmunkálás nélkül is kialakíthatók.			

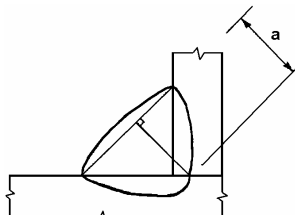
8.8 táblázat Hegesztett kötések típusai

8.3.2. Sarokvarratok (8.7 ábra)

- (1) **Hasznos varrathossz:** A teljes varrathossz figyelembe vehető. Ha a varratkezdet és befejezés nem teljes értékű, akkor $2 \times a$ értékkel csökkenthető a teljes hossz (kezdő és végkráter hossza). 30 mm-nél vagy $6 \times a$ méretnél rövidebb sarokvarratok erőátadás szempontjából nem vehetők figyelembe.
- (2) **Hasznos varratméret a:** A sarokvarrat hasznos mérete nem lehet kisebb 3 mm-nél.



Sarokvarratok hasznos varratmérete

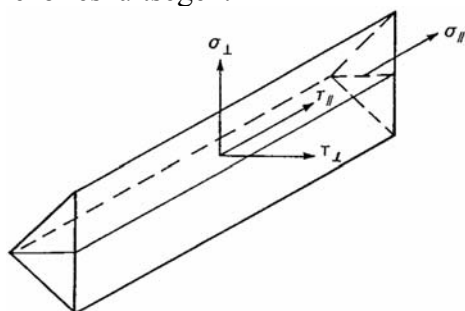


8.7 ábra Mélybeolvadású sarokvarrat hasznos varratmérete

Sarokvarratok tervezési ellenállása: (8.8 ábra)

A sarokvarrat tervezési keresztmetszete $A_w = \sum a \ell_{\text{eff}}$

A sarokvarratban keletkező feszültségek:



8.8 ábra Varrat feszültségkomponensei

- σ_{\perp} a varratengelyre merőleges normálfeszültség
- σ_{\parallel} a varratengellyel párhuzamos normálfeszültség (varratméretezésnél nem vesszük figyelembe)
- τ_{\perp} a varratengelyre merőleges nyírófeszültség
- τ_{\parallel} a varratengellyel párhuzamos nyírófeszültség

A sarokvarratnál a következő két feltétel teljesülését kell kimutatni:

$$[\sigma_{\perp}^2 + 3(\tau_{\perp}^2 + \tau_{\parallel}^2)]^{0,5} \leq f_u / (\beta_w \gamma_{M2})$$

$$\sigma_{\perp} \leq f_u / \gamma_{M2}$$

ahol: f_u – a kapcsolódó elemek szakítószilárdsága közül a kisebb

β_w – a megfelelő korrekciós tényező 8.9 táblázat

Szabvány és acélminőség	β_w korrekciós tényező
EN 10025	
S 235, S 235 W	0,8
S 275, S 275 N/NL, S 275 M/ML	0,85
S 355, S 355 N/NL, S 355 M/ML, S 355 W	0,9
S 420 N/NL, S 420 M/ML	1,0
S 460 N/NL, S 460 M/ML, S 460 Q/QL/QL1	1,0

8.9 táblázat Korrekciós tényezők

Egyszerűsített módszer sarokvarratok ellenállására:

A sarokvarratra jutó összes erőt figyelembe véve:

$$F_{w,Ed} \leq F_{w,Rd}$$

ahol: $F_{w,Ed}$ - varrat egységnyi hosszára eső fajlagos erőt

$F_{w,Rd} = f_{vw,d} a$ – a varrat fajlagos ellenállása

ahol: $f_{vw,d}$ – a varrat nyírószilárdsága

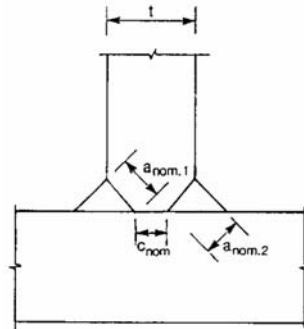
$$f_{vw,d} = \frac{f_u / \sqrt{3}}{\beta_w \gamma_{M2}}$$

8.3.3. Tompavarratok tervezési ellenállása (8.9 ábra)

Teljes beolvadású tompavarratok tervezési ellenállása megegyezik az alapanyag tervezési ellenállásával.

Részleges beolvadású tompavarratokat mélybeolvadású sarokvarratként kell méretezni.

Tompa T-kötés:



8.9 ábra Tompavarrat

A tompa T-kötésű varrat teljes beolvadású tompavarratként kezelhető, ha:

$$a_{\text{nom},1} + a_{\text{nom},2} \geq t \text{ (a T-kötés szárának vastagsága), és}$$

$$c_{\text{nom}} \leq \min(t/5; 3\text{mm}).$$

Ha a fenti feltételeket nem elégíti ki a T-kötés, akkor kétoldali sarokvarratként, vagy kétoldali mélybeolvadású sarokvarratként kell számítani, a beolvadási mélység függvényében.

Irodalom:

Iványi M. (koordinátor):

Acélszerkezetek tervezése az Eurocode 3 szerint

Oktató csomag az EC3 oktatásához

Műegyetemi Kiadó, Budapest, 2001

Iványi M. (szerkesztette)

EUROCODE – Kézikönyv: Acélszerkezetek

A lemezhorpadás szerepe és vizsgálata

Műegyetemi Kiadó, Budapest, 2002

Iványi M. (szerkesztette)

EUROCODE – Kézikönyv: Acélszerkezetek

Táblázatok és méretezési példatár

Műegyetemi Kiadó, Budapest, 2002

Halász O. - Iványi M.: Stabilitáselmélet

Acélszerkezetek méretezésének elvei és módszerei

Akadémiai Kiadó, Budapest, 2001

Iványi M.: Hídépítéstan. Acélszerkezetek

Műegyetemi Kiadó, Budapest, 1998

Iványi M.: TÁBLÁZATOK acélszerkezetek méretezéséhez az Eurocode 3 szerint

Műegyetemi Kiadó, Budapest, 2004